# PROJETO E IMPLEMENTAÇÃO DE UM TRANSDUTOR SIGMA-DELTA TÉRMICO LINEAR

#### Valter da Conceição Rosa

Dissertação de Mestrado submetida ao Programa de Pós-Graduação em Engenharia Elétrica da Universidade Federal da Bahia, como parte dos requisitos necessários para a obtenção do grau de Mestre em Ciências no domínio da Engenharia Elétrica.

Área de Concentração: Processamento da Informação

Lígia Souza Palma, Dra Amauri Oliveira, Dr. Orientadores

Salvador, Bahia, Brasil. Março de 2009

## Dedicatória

Dedico este trabalho aos meus filhos: Gabriel, Carolina e Leonardo, que são meus maiores estímulos e souberam entender minha ausência neste período de estudo.

À minha mulher, Ediudett, pela força que sempre me deu.

Aos meus pais, irmãos e sobrinhos que são minha torcida permanente.

Aos meus alunos com quem compartilharei os conhecimentos adquiridos.

Aos meus colegas de trabalho com quem continuarei esta pesquisa.

## Agradecimentos

Aos meus orientadores doutores Lígia Souza Palma pela paciência na correção e organização deste trabalho e Amauri Oliveira com quem tive oportunidade de compartilhar seu profundo conhecimento.

Aos meus professores doutores Adhemar de Barros, Luciana Martinez, Antonio Cesar, Carlos Trabuco, Ana Isabela, Jés Cerqueira e Ligia Palma que ajudaram a solidificaram meus conhecimentos.

Aos bolsistas Luis Fernando e Tiago Rodrigues pela contribuição na parte experimental do trabalho.

Agradecimento especial ao professor Carlos Trabuco pelo profissionalismo exemplar e à professora Ana Isabela (Aninha) minha grande incentivadora e colaboradora neste trabalho.

### Resumo

Neste trabalho é mostrado um transdutor sigma-delta térmico, i.e., um circuito realimentado baseado no modulador sigma-delta térmico.

O circuito tem como base um modulador sigma-delta de primeira ordem de um bit, no qual algumas partes da conversão são realizadas por um termistor, podendo ser usado para realizar medidas digitais das grandezas que interagem com o sensor como: temperatura, radiação térmica e velocidade de fluido.

Baseado neste princípio é demonstrado, através de uma aplicação completa, que a saída digital do circuito transdutor é intrinsecamente linear com a temperatura ambiente em toda a faixa de medição.

São demonstradas as equações que descrevem o comportamento do circuito e mostrados os resultados de simulação e experimentais obtidos.

Adicionalmente é apresentada uma versão do circuito para medição de radiação térmica em que a saída digital tem também um comportamento intrinsecamente linear com a grandeza medida.

# Índice Analítico

Capitulo 1 : Introdução	
1.1 - Visão Geral	1
1.2 - Organização do Trabalho	3
Capítulo 2 : Revisão Bibliográfica	4
2.1 - Termistores	4
2.2 - Conversores Sigma-Delta	12
Capítulo 3 : Transdutor Sigma-Delta Térmico	21
3.1 - Análise do Circuito	24
3.2 - Linearidade	28
3.3 - Radiômetro	30
Capítulo 4 : Implementação Física	33
4.1 – Simulação e Implementação Analógica	33
4.1.1 – Circuito Polarizador	36
4.1.2 – Circuito Comparador	38
4.1.3 - Circuito de Controle	39
4.1.4 - Filtro Passa-Baixas	41
4.1.5 - Resultados	42
4.2 - Impelmentação Digital	48
Capítulo 5 : Conclusões e Trabalhos Futuros	54
5.1 - Conclusões	54
5.2 - Trabalhos Futuros	55
Referências Bibliográficas	56
Apêndice I: Rotina Principal em C	58
Anexo I: Rotina do Filtro FIR em Assembler	63
Anexo II: Pesos do Filtro FIR em Matlab	65

## Lista de Tabelas

Tabela 4-1: Condições de teste e valores obtidos sem DSP	45
Tabela 4-2: Condições de teste e valores obtidos com DSP	51

# Lista de Figuras

Figura 2-1: Variação da Resistência de um Termistor com sua Temperatura	4
Figura 2-2: FFT de um ADC convencional com freqüência de amostragem Fs	. 14
Figura 2-3: FFT de um ADC convencional com freqüência de amostragem kFs	. 14
Figura 2-4: Ação do filtro passa baixas na SNR de um sinal sobreamostrado	. 15
Figura 2-5: Diagrama em blocos do Modulador Sigma-Delta de primeira ordem	. 16
Figura 2-6: Análise do modulador Sigma-Delta no domínio da freqüência	. 17
Figura 2-7: Efeito da modulação Sigma-Delta no sinal e no ruído de quantização	. 18
Figura 2-8: Relação entre SNR e OSR para Sigma-Delta de ordem superior	. 19
Figura 2-9: Detalhes de implementação do Modulador Sigma-Delta	. 20
Figura 2-10: Modulação por Densidade de Pulso	. 20
Figura 3-1: Topologia do Modulador Sigma-Delta com sensor termo-resistivo	. 21
Figura 3-2: Conexão do Termistor na topologia Sigma-Delta	. 22
Figura 3-3: Topologia proposta para o modulador térmico	. 24
Figura 3-4: Potência X Temperatura ambiente no equilíbrio térmico	. 25
Figura 3-5: Circuito proposto para medição de radiação térmica	. 31
Figura 4-1: Foto do Protótipo usando Componentes Discretos	. 33
Figura 4-2: Diagrama geral em blocos do circuito Transdutor Sigma-Delta	. 35
Figura 4-3: Circuito do Polarizador	. 37
Figura 4-4: Circuito Comparador	. 38
Figura 4-5: Circuito de Controle	. 40
Figura 4-6: Filtro Passa-Baixas analógico	. 42
Figura 4-7: Transitórios do aquecimento inicial do sensor	. 43
Figura 4-8: Resfriamento e aquecimento do sensor em equilíbrio térmico	. 44
Figura 4-9: Linearidade Obtida com o Circuito Discreto	. 46
Figura 4-10: Transdutor Sigma-Delta térmico com Microcontrolador	. 48
Figura 4-11: Janela deslizante usada para decimação do sinal PDM	. 50
Figura 4-12: Foto do Protótipo com Microprocessador	. 51
Figura 4-13: Linearidade Obtida com o Circuito Integrado num DSP.	. 52

## Lista de Símbolos

$\boldsymbol{A}$	Resistência do termistor NTC na temperatura infinita
$A_0$	Resistência do termistor PTC na temperatura zero
· ·	Coeficientes constantes do termistor
$A_i$	Amplitude da potência do ruído
$A_r \ A_{th}$	Condutância de radiação térmica do sensor
B	Constante do material do NTC
	Constante do material do PTC
$\frac{\beta}{clk}$	Valor médio normalizado do sinal de relógio
$C_{th}$	Capacitância térmica do sensor
D	Ciclo de trabalho
E	Energia de escape
$E_p(t)$	Sinal digital na entrada do DAC
$F_{s}$	Freqüência de amostragem
$G_{th}$	Condutância térmica do sensor
H	Radiação térmica incidente
I	Corrente elétrica do sensor
$I_{ref}$	Corrente de referência do sensor
k	Taxa de sobreamostragem
k	Constante de Boltzmann
$k_1$	Constante de linearização do sensor
$k_2$	Constante de linearização do sensor
μ	Mobilidade dos portadores de carga
N	Número de bits do quantizador
N(s)	Ruído de quantização no domínio da freqüência
NTC	Sinal de tensão no sensor
n	Densidade dos portadores de carga na banda de condução
$\overline{pdm}$	Valor médio normalizado do sinal PDM
$\overline{pdm}_2$	Valor médio normalizado do sinal de temperatura do radiômetro
$P_i$	Potência elétrica fornecida ao sensor
p	Pólo do sensor
$p_{sr}$	Pólo do sistema realimentado
$P_2$	Potenciômetro do polarizador
$P_{max}$	Potência máxima fornecida pelo circuito
$P_{min}$	Potência mínima fornecida pelo circuito
PDM	Sinal de tensão na saída do modulador sigma-delta
$ ho_t$	Relação entre $t_1$ e $t_2$
q	Carga do portador na banda de condução
r	Coeficiente de correlação de Pearson
R	Resistência elétrica do termistor

 $R_{NTC}$  Resistência do termistor na região NTC  $R_{PTC}$  Resistência do termistor na região PTC

 $R_s$  Resistência do sensor

 $R_{s0}$  Resistência de trabalho do sensor

 $R_0$  Resistência do sensor na temperatura  $T_0$ 

 $\sigma$  Condutividade do semicondutor

 $\sigma_x$  Condutividade do semicondutor à temperatura infinita

 $S_i$  Valor eficaz normalizado do sinal

Temperatura absoluta

 $T_0$  Temperatura de operação do sensor  $\Delta T$  Intervalo de medição da temperatura

 $T_1$  Transistor do polarizador  $T_2$  Transistor do polarizador  $t_1$  Tempo de zero do relógio  $t_2$  Tempo de um do relógio

 $T_{a(max)}$  Temperatura ambiente máxima  $T_{a(min)}$  Temperatura ambiente mínima

*T<sub>a</sub>* Temperatura ambiente

 $T_{max}$  Temperatura máxima submetida ao sensor  $T_{min}$  Temperatura mínima submetida ao sensor

 $T_s$  Temperatura do sensor

 $T_{s0}$  Temperatura de operação do sensor

 $V_{ref}$  Tensão de referencia

 $-V_{ref}$  Tensão de referencia negativa  $+V_{ref}$  Tensão de referencia positiva

X(s) Sinal de entrada do modulador no domínio da freqüência Y(s) Sinal de saída do modulador no domínio da freqüência

# Lista de Siglas

A/D	Analógico-Digital
ADC	Conversor Analógico-Digital
CLK	Sinal do relógio
CMP	Sinal na saída do comparador
DAC	Sinal que aciona o polarizador
FFT	Transformada rápida de Fourier
FIR	Filtro digital com resposta finita ao impulso
NTC	Termistor com coeficiente negativo de temperatura
OSR	Taxa de sobreamostragem
PDM	Modulação por densidade de pulso
PTC	Termistor com coeficiente positivo de temperatura
SNR	Relação sinal ruído

Capítulo 1: Introdução

1

Capítulo 1: Introdução

1.1 - Visão Geral

Configurações de sistemas realimentados com sensor termoresistivo, usando o

principio do balanceamento de potência, tem sido empregado em medições de

radiação térmica [1], velocidade de fluido [2] e temperatura [3].

O método mais utilizado é o de temperatura constante, em que o sensor é a-

quecido por efeito Joule a uma temperatura escolhida e a variação de potência

a ele submetida devido a variação do mensurando (temperatura ambiente, ra-

diação térmica ou velocidade do fluido), é compensada pela variação da potên-

cia elétrica entregue ao sensor por uma malha de realimentação negativa.

Desta forma a temperatura do sensor permanece constante, dentro da precisão

desejada.

Dentre os sistemas de medição com sensor aquecido à temperatura constante,

a configuração mais simples usa o sensor em um dos ramos de uma ponte de

Weatstone [4].

Nesta configuração a relação entre o sinal de saída e o valor da grandeza física

medida não é linear.

Outra possibilidade é o uso de uma configuração sigma-delta [5] na qual o sen-

sor é parte da malha de realimentação.

O modulador sigma-delta é uma configuração realimentada cuja saída é uma

versão digital sobreamostrada do sinal analógico de entrada [6].

O modulador sigma-delta tem sido empregado em processamento de sinais

para conversão de sinais analógicos em digitais a partir de circuitos analógicos

simples.

Os conversores A/D que usam moduladores sigma-delta são conhecidos por serem robustos, de alta precisão e fácil de implementar em circuito integrado.

Este trabalho apresenta um circuito medidor de temperatura composto de um modulador sigma-delta de primeira ordem de um bit, em que alguns blocos funcionais são realizados pelo próprio sensor termoresistivo.

Resultados de simulação matemática desta arquitetura já foram apresentados para medição de radiação térmica em [7].

Neste trabalho mostra-se que a linearidade entre a variável de medição e a saída do circuito é intrínseca para medição de temperatura e radiação térmica.

Mostram-se também os resultados obtidos num simulador de circuitos eletrônicos [21] bem como os resultados experimentais obtidos em bancada para medição de temperatura.

Capítulo 1: Introdução

3

1.2 - Organização do Trabalho

Neste trabalho, o capítulo 2 é dedicado a revisão bibliográfica dos principais componentes do modulador sigma-delta térmico, que são os termistores e o

modulador sigma-delta.

No item 2.1 mostra-se a modelagem estática e dinâmica dos termistores, ne-

cessária para o entendimento de como este componente substitui alguns dos

blocos funcionais de um modulador sigma-delta clássico, transformando-o em

um modulador sigma-delta térmico.

No item 2.2 mostra-se o princípio de funcionamento de um modulador sigma-

delta clássico, usado para conversão de sinais analógicos em digitais, com ên-

fase nas vantagens deste conversor sobre os conversores convencionais, van-

tagens estas que serão mantidas no modulador sigma-delta térmico.

Na revisão bibliográfica, as figuras originadas de outros trabalhos são mantidas

na sua forma original.

No capítulo 3 mostra-se o funcionamento do transdutor sigma-delta térmico,

obtido a partir da associação do sensor com o modulador sigma-delta e do filtro

digital e como ele pode ser usado para medição de temperatura e radiação

térmica.

No capítulo 4, item 4.1, mostram-se os detalhes do projeto eletrônico do modu-

lador sigma-delta térmico para medição de temperatura ambiente, os resulta-

dos de simulação e os resultados experimentais obtidos com um circuito discre-

to.

No capítulo 4, item 4.2, mostram-se os detalhes de uma versão do circuito em

que todas as funções a menos do alimentador do sensor são realizadas por um

microcontrolador com DSP, e se expõem os resultados experimentais obtidos.

O capítulo 5 é dedicado às conclusões e perspectivas futuras de pesquisa para

o aprimoramento da topologia apresentada.

## Capítulo 2 : Revisão Bibliográfica

### 2.1 - Termistores

Termistores são dispositivos semicondutores passivos de dois terminais que variam, de forma importante, sua resistência elétrica com a sua temperatura e são usados como sensores das grandezas que alteram sua temperatura como: temperatura ambiente, radiação térmica e velocidade de fluidos.

São constituídos por ligas especiais de semicondutores, tendo a forma geral da variação de sua resistência com a sua temperatura como observado na Figura 2-1.

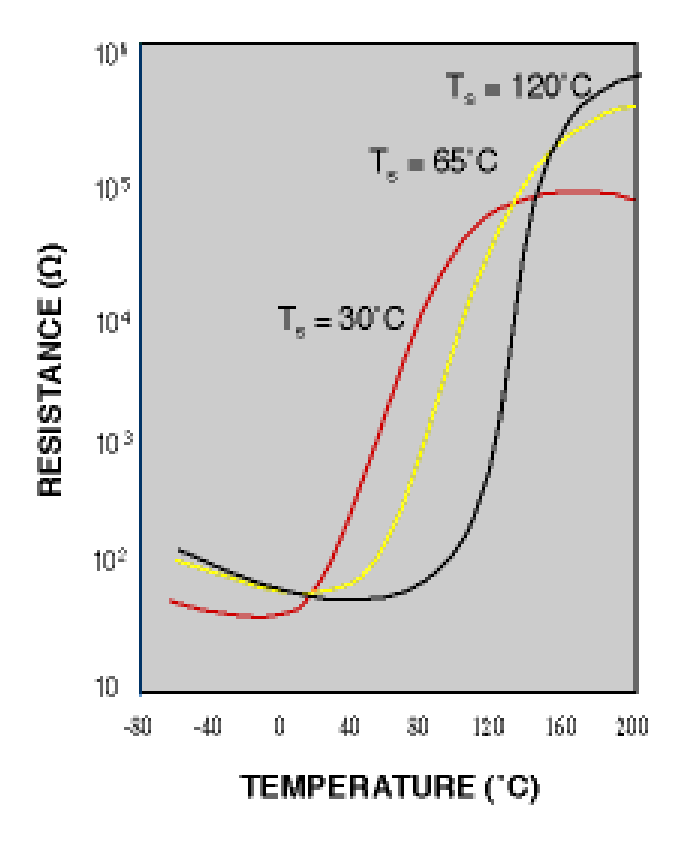


Figura 2-1: Variação da Resistência de um Termistor com sua Temperatura. Fonte: [14]

A condutividade elétrica de um material é dada por:

$$\sigma = qn\mu \tag{2-1}$$

em que:

q é a carga de cada portador na banda de condução em (C)

n é a densidade dos portadores de carga na banda de condução em (1/m<sup>3</sup>)

 $\mu$  é a mobilidade dos portadores de carga em (m<sup>2</sup>/V.s)

Observa-se na Figura 2-1 que, na primeira faixa de temperatura o termistor apresenta uma variação negativa da resistência. Os termistores que são fabricados para operarem nesta faixa são chamados de termistores *NTC (Negative Temperature Coeficient)* e na sua grande maioria são compostos por óxidos de
metais de transição como o cromo, manganês, cobalto, ferro, níquel, titânio,
lítio, formando um semicondutor poli-cristalino.

Nesta faixa, a condutividade do semicondutor, considerando a variação da densidade de carga na banda de condução e a mobilidade das cargas com a temperatura, é expressa por:

$$\sigma = \sigma_x e^{-E/kT} \tag{2-2}$$

em que:

 $\sigma_x$  é a condutividade à temperatura infinita, em  $\Omega^{-1}/m$ , que depende da densidade de carga e mobilidade, cujo valor é controlado pelo material empregado e pelo processo de fabricação.

*E* é a energia de escape, em J, necessária para que o portador de carga passe da banda de valência para a banda de condução do semicondutor.

k é a constante de Boltzmann em  $JK^{-1}$ 

T é a temperatura absoluta em K.

Considerando que a resistência de um material é proporcional a sua resistividade, cuja constante de proporcionalidade depende da geometria do componente e que a sua resistividade é o inverso da condutividade, concluímos que a resistência do termistor na faixa *NTC* se aproxima de:

$$R_{NTC} = Ae^{\frac{B}{T}} \tag{2-3}$$

em que:

 $R_{NTC}$  é a resistência do termistor na região *NTC*, em  $\Omega$ .

A é a resistência do termistor para uma temperatura infinita, em  $\Omega$ , que depende da resistividade à temperatura infinita e da geometria do termistor.

*B* é uma constante positiva do material, que define a sensibilidade do termistor e tem seu valor controlado pelo processo da fabricação, em K.

A faixa de uso do termistor é definida pelo material usado e é possível se obterem valores diferentes de resistência para um mesmo material mudando-se apenas a geometria do mesmo.

Na prática outros fatores não previstos na equação (2-3) influenciam na resistividade do termistor e para medições em larga faixa de temperatura, a equação (2-3) não oferece boa precisão.

Através de observação da variação real da resistência de um termistor com sua temperatura e usando técnicas matemáticas de ajustamento de curvas, Steinhart e Hart [19] mostraram que o inverso da temperatura do termistor *NTC* pode ser expressa como um polinômio em logaritmo natural de sua resistência R, como:

$$\frac{1}{T} = \sum_{i=0}^{N} A_i (\ln R)^i$$
 (2-4)

em que:

N é a ordem do polinômio que deve ser definida em função da precisão que se deseja obter e da não linearidade do termistor.

 ${\it A_i}$  são os coeficientes constantes do termistor a serem determinados experimentalmente.

Na prática uma boa correlação entre os valores medidos e calculados são obtidos com o uso de um polinômio de grau 3 em que o termo quadrado é desprezado, ficando:

$$\frac{1}{T} = A_0 + A_1(\ln R) + A_3(\ln R)^3 \tag{2-5}$$

em que  $A_0$ ,  $A_1$  e  $A_3$  são coeficientes específicos de cada termistor a serem determinados experimentalmente.

Então, quando o sensor é submetido a uma faixa larga de temperatura, devemse usar as equações (2-4) ou (2-5) para a determinação com mais precisão da temperatura do mesmo.

Para faixas menores de temperatura pode-se usar a equação (2-3) que é equivalente a equação (2-4) com grau 1.

Porém quando o sensor é submetido a uma faixa de temperatura muito pequena em torno de uma temperatura qualquer  $T_0$ , dentro da sua faixa de operação, pode-se expandir a equação ( 2-3 ) em série de potências e desprezar os termos de ordem superior sem perda de precisão, linearizando assim a relação entre a resistência e a temperatura do sensor, o que resulta em:

$$R_{NTC} = R_0 \left[ 1 - B \left( \frac{T - T_0}{T_0^2} \right) \right] \tag{2-6}$$

em que:

 $R_0$  é o valor da resistência do sensor na temperatura  $T_0$ .

A equação (2-6) pode ser reescrita de forma mais simples:

$$R_{NTC} = k_1 T + k_2 (2-7)$$

em que:

$$k_1 = -\frac{R_0 B}{T_0^2} \tag{2-8}$$

$$k_2 = R_0 \left( 1 + \frac{B}{T_0} \right) \tag{2-9}$$

Neste trabalho é usada a equação (2-7) pois o sensor usado foi um *NTC* com temperatura mantida praticamente constante, como veremos adiante.

Na segunda faixa de temperatura o termistor apresenta uma transição na variação da resistência de negativa para positiva, pois nesta faixa a resistividade do material se altera devido a aproximação da temperatura Curie. Esta faixa não apresenta utilidade prática.

Na terceira faixa o termistor apresenta uma variação positiva na sua resistência devido ao efeito Curie. Os termistores que são fabricados para operarem nesta faixa são chamados de termistores *PTC* (*Positive Temperature Coeficient*) e são compostos principalmente por semicondutor tipo N, dopado com titanato de bário (BaTiO<sub>3</sub>) que apresenta um aumento significativo de sua sensibilidade na temperatura Curie.

Para aplicações práticas nesta faixa de temperatura a resistência do termistor pode ser escrita de forma simplificada como:

$$R_{PTC} = A_0 e^{\beta T} \tag{2-10}$$

em que:

 $R_{PTC}$  é a resistência do termistor na região *PTC*, em  $\Omega$ .

 $A_0$  é a resistência do termistor para temperatura zero Kelvin, em  $\Omega$ .

 $\beta$  é uma constante do material, que define a sensibilidade do termistor e tem seu valor controlado pelo processo da fabricação, em 1/K.

Existem também aproximações mais precisas para relacionar a resistência de um PTC com a sua temperatura quando submetido a faixas maiores de temperatura [13], porém como neste trabalho aplicaremos com temperatura quase constante, usaremos a forma linearizada da equação ( 2-10 ) válida para pequenas variações de temperatura em torno de  $T_0$  como segue:

$$R_{PTC} = R_0 [1 + \beta (T - T_0)] \tag{2-11}$$

em que:

 $R_0$  é o valor da resistência do sensor na temperatura  $T_0$ .

A equação (2-11) pode ser reescrita de forma mais simples:

$$R_{PTC} = k_1 T + k_2 (2-12)$$

em que:

$$k_1 = R_0 \beta \tag{2-13}$$

$$k_2 = R_0(1 - \beta T_0) \tag{2-14}$$

Com a variação da composição dos termistores, os fabricantes podem alterar o valor da temperatura Curie, tornando o dispositivo um NTC, quando a temperatura Curie é alta ou um PTC quando a temperatura Curie á baixa.

Os termistores são os sensores que possuem maior sensibilidade a variação de temperatura, porém possuem uma grande desvantagem que é a não linearidade da resistência com a temperatura, o que limita ou dificulta sua aplicação.

Neste trabalho, mostra-se o uso do termistor para determinação da temperatura ambiente em uma faixa larga de operação de forma intrinsecamente linear independente da não linearidade do sensor.

Aqui foi usado sensor *NTC*, porém, como veremos, não há nenhuma restrição ao uso de sensores *PTC* nesta aplicação.

As relações entre a resistência do sensor com a sua temperatura até aqui apresentadas, mostram o comportamento estático do componente, sem considerar sua variação no tempo, porém é importante que se conheça o comportamento dinâmico do sensor para esta aplicação.

A temperatura de um termistor pode variar basicamente por efeito Joule, quando uma corrente ou tensão são aplicadas em seus terminais, pela incidência de radiação térmica em sua superfície ou pela dissipação de energia para o meio, sem convecção ou com convecção.

Usando a lei de conservação da energia na porção do espaço ocupada pelo sensor, pode-se afirmar que a energia total a ele fornecida é igual à energia por ele armazenada mais a energia dissipada para o meio, de onde se deduz a equação dinâmica do mesmo como sendo [13]:

$$R_s(t)I^2(t) + A_{th}H(t) = G_{th}[T_s(t) - T_a(t)] + C_{th}\frac{dT_s(t)}{dt}$$
 (2-15)

Que na forma integral fica:

$$T_s = \frac{1}{C_{th}} \int [R_s I^2 + A_{th} H - G_{th} (T_s - T_a)] dt$$
 (2-16)

em que:

 $R_{\scriptscriptstyle S}I^2$  é a potência entregue ao sensor, em W, pela passagem de uma corrente elétrica por seus terminais, sendo:

 $R_s$  é a resistência do termistor, em  $\Omega$ .

I é a corrente, em A, submetida ao sensor.

 $A_{th}H$  é a potência absorvida pelo sensor, em W, por exposição à radiação térmica, sendo:

 $A_{th}$  é a condutância de radiação térmica do sensor, em  $\mathrm{m}^2$ .

H é a radiação térmica incidente na superfície do sensor, em  $W/m^2$ .

 $G_{th}(T_s-T_a)$  é a potência absorvida ou dissipada para o meio, em W, devido a diferença entre a temperatura na superfície do sensor  $T_s$ , em K, e a temperatura do meio ambiente  $T_a$ , em K, sendo:

 $G_{th}$  é a condutância térmica do sensor, em W/K.

 $C_{th} (dT_s/dt)$  é a potência armazenada pelo sensor, em W, sendo:

 $C_{th}$  é a capacitância térmica do sensor, em J/K.

Esta equação nos mostra a natureza dinâmica da variação da temperatura do sensor com as diversas formas de energia que afetam sua temperatura.

Para pequenas variações de temperatura em torno de  $T_{s0}$ , o sensor pode ser modelado como um sistema de primeira ordem, com o pólo em [13]:

$$p = \frac{[G_{th0}(T_{s0} - T_{a0}) - G_{H0}H_0]k_1 - R_{s0}G_{th0}}{R_{s0}C_{th0}}$$
(2-17)

em que:

 $k_1$  é o coeficiente de temperatura definido nas equações (2-8) se for um *NTC* ou (2-13) se for um *PTC*.

O subscrito zero está sendo usado para indicar que são valores no ponto de equilíbrio térmico do sensor em  $T_s = T_{s0}$ .

### 2.2 - Conversores Sigma-Delta

Para o processamento digital de um sinal analógico, o sinal deve inicialmente passar por um circuito amostrador, cuja saída será convertida para um formato digital por um conversor A/D, entretanto de acordo com o teorema da amostragem, a freqüência de amostragem não deve ser inferior ao dobro da freqüência máxima contida no sinal analógico, pois, desta forma, o sinal analógico original não poderá ser recuperado devido ao sobre-recobrimento. (*aliasing*)

Para prevenir o sobre-recobrimento o sinal analógico deve passar por um filtro analógico passa-baixas, antes de ser amostrado, cuja freqüência de corte deve ser a maior freqüência do sinal que se deseja preservar.

O filtro anti-recobrimento deverá cortar todos os componentes de freqüência fora da banda do sinal, inclusive o ruído de alta freqüência nele contido.

O sinal assim filtrado deverá então ser amostrado com uma frequência pelo menos o dobro da frequência de corte do filtro anti-recobrimento, conhecida por frequência de Nyquist.

Se a freqüência de amostragem for igual a freqüência de Nyquist, o filtro passabaixas anti-recobrimento deverá ter um corte muito abrupto e para isto é necessário que o mesmo tenha uma ordem muito alta o que só pode ser implementado com uma grande quantidade de componentes de alta precisão, normalmente muito difícil de serem integrados, além de introduzir distorção de fase no sinal de saída [6][16].

Uma abordagem alternativa é sobreamostrar o sinal com uma freqüência muito maior que a freqüência de Nyquist, reduzindo assim as exigências de projeto do filtro anti-recobrimento, resultando numa estrutura simples que pode ser implementada com componentes de baixa precisão [6][16].

A sobreamostragem, se realizada a uma taxa suficientemente alta, além de simplificar o filtro anti-recobrimento, torna a diferença entre duas amostragens consecutivas tão pequena que a conversão pode ser feita por um conversor A/D de baixa resolução, normalmente um ou dois bits, a depender da taxa de

sobre-amostragem e da precisão requerida.

A sobreamostragem também tem uma consequência importante na relação sinal-ruído (SNR).

A SNR, de um conversor analógico/digital, (ADC) convencional multibit é dada por [6]:

$$SNR = 6,02N + 4,77 + 20 \log(S_i)$$
 (2-18)

em que N é o número de bits do quantizador e  $S_i$  é o valor eficaz normalizado do sinal.

Para um sinal senoidal cujo valor eficaz normalizado é 0,707, tem-se:

$$SNR = 6.02N + 1.76dB$$
 (2-19)

A equação (2-19) mostra que a SNR de um ADC convencional melhora 6 dB a cada acréscimo de 1 bit no quantizador e não depende da freqüência de amostragem.

A amplitude da potência do erro de quantização, modelado como um ruído com densidade de probabilidade uniforme, é dada por [13]:

$$A_r = \frac{1}{3F_s} \left(\frac{1}{2^N - 1}\right)^2 \tag{2-20}$$

Em que  $F_s$  é a freqüência de amostragem e N é o número de bits do quantizador.

Pode-se observar na Figura 2-2, o espectro de freqüência de um sinal senoidal quantizado com N bits e amostrado a uma freqüência  $F_s$ , em que a amplitude do ruído permanece constante na banda do sinal.

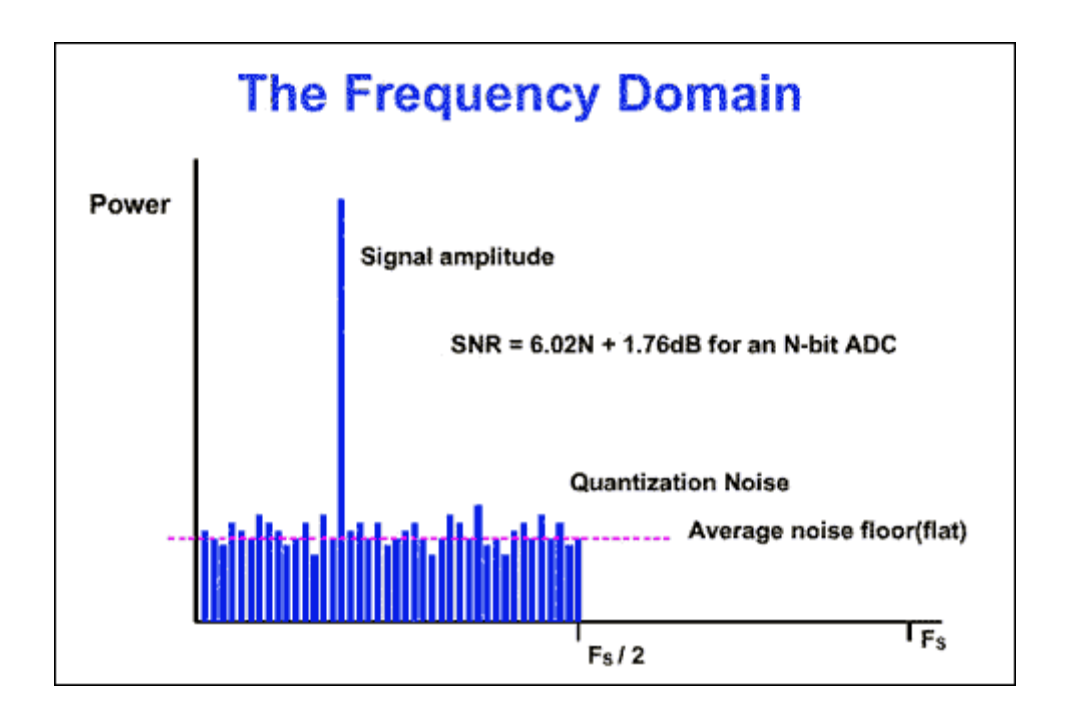


Figura 2-2: FFT de um ADC convencional com freqüência de amostragem Fs. Fonte: [15]

Pode-se observar na Figura 2-3, o espectro de freqüência de um sinal senoidal quantizado com N bits e amostrado a uma freqüência kFs, em que o erro de quantização mantém sua potência total, mas ele se espalha até kFs, reduzindo a amplitude de potência de acordo com a equação ( 2-20 ).

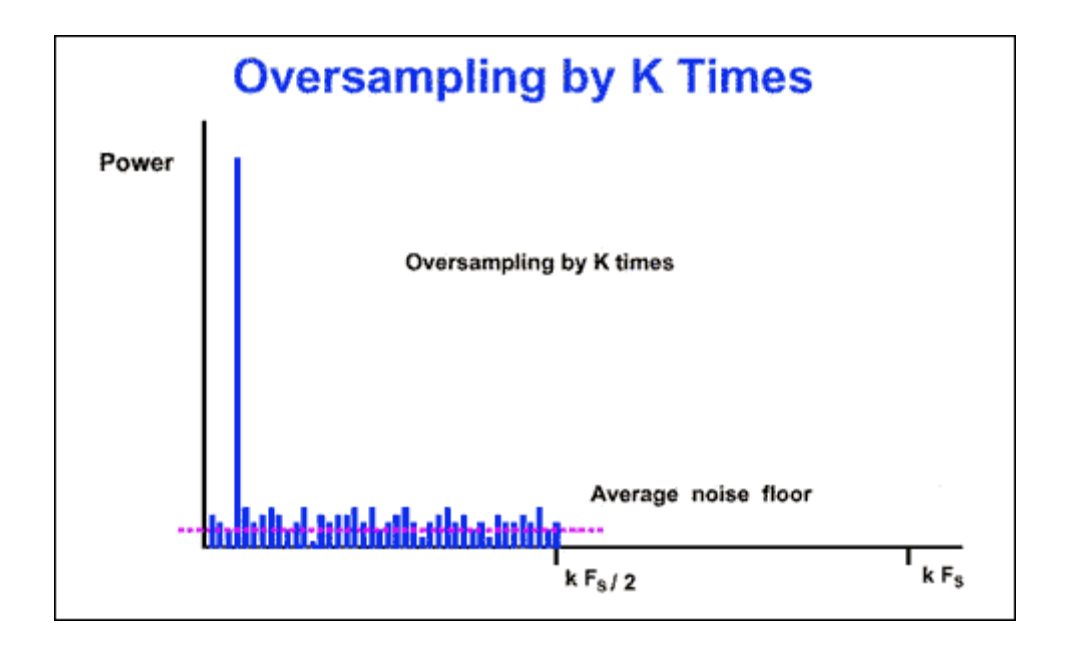


Figura 2-3: FFT de um ADC convencional com freqüência de amostragem kFs. Fonte:[15]

Pode-se observar na Figura 2-4, a ação de um filtro passa-baixas removendo o ruído acima de  $F_s/2$  fazendo com que a SNR melhore 3 dB a cada duplicação da freqüência de amostragem pois neste caso, pela equação ( 2-20 ), a amplitude da potência do ruído reduz 3 dB em toda a banda do sinal, fazendo com que a potência total na banda do sinal até  $F_s/2$  reduza 3 dB.

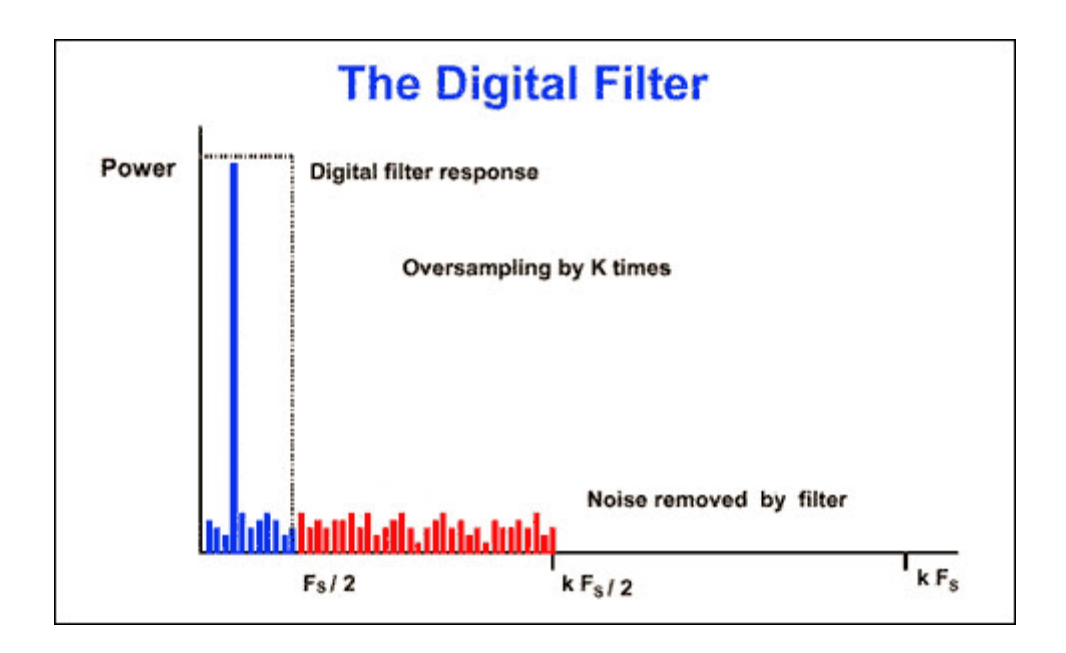


Figura 2-4: Ação do filtro passa baixas na SNR de um sinal sobreamostrado. Fonte:[15]

Usar sobre-amostragem para melhorar a precisão (SNR) de um conversor convencional não é prático, pois para se ter uma melhora na SNR equivalente a 1 bit, que é 6 dB de acordo com a equação ( 2-18 ), é necessário quadruplicar a freqüência de amostragem, de acordo com a equação ( 2-20 ).

Neste cenário surge o modulador sigma-delta com a característica importante de ter uma densidade espectral do ruído de quantização favorável à realização de ADC de um bit, como mostrado a seguir.

Pode-se observar na Figura 2-5, o diagrama em blocos do modulador sigmadelta de primeira ordem, e seu diagrama de blocos equivalente no domínio da freqüência, em que o ruído de quantização é substituído por uma função de ruído N(s) somada ao sinal de saída do modulador. Este modulador consiste em um somador, um integrador e um quantizador, que transforma o sinal analógico de entrada num sinal digital modulado por densidade de pulso, (PDM), como se pode ver a seguir.

Para a recuperação do sinal de entrada é necessário um filtro passa-baixas (digital ou analógico), na banda do sinal original.

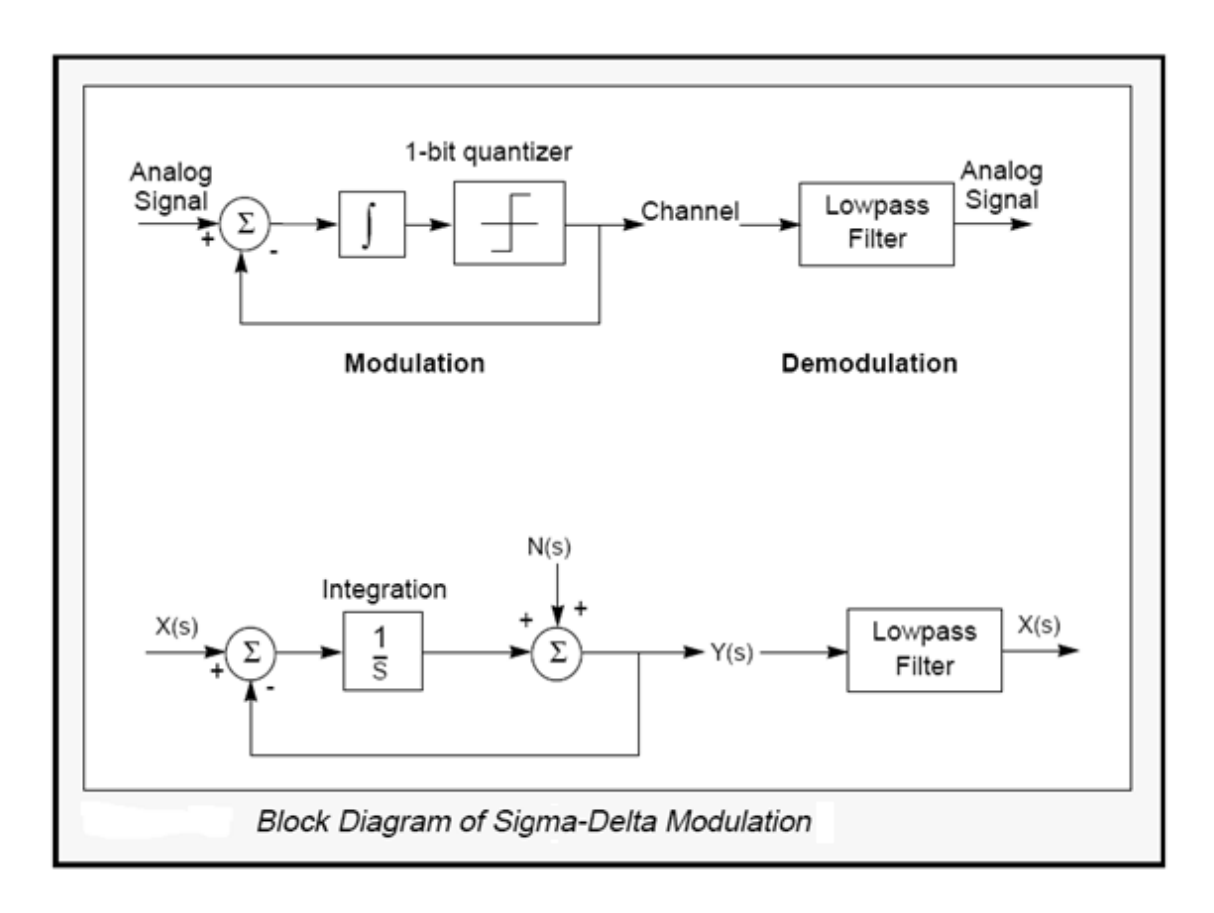


Figura 2-5: Diagrama em blocos do Modulador Sigma-Delta de primeira ordem. Fonte:[16]

Este diagrama foi assim apresentado porque a grandeza que se quer medir (temperatura) é analógica, porém este modulador tem seu equivalente discreto, em que a entrada é multibit digital e o integrador é um somador.

Além disto, para melhorar a SNR, este modulador pode ter mais de um estágio de soma e integração, resultando em moduladores de ordem superiores e o seu quantizador pode ter mais de um bit, cujo estudo está fora do escopo deste trabalho.

Na Figura 2-6 observa-se que este modulador funciona como um filtro passabaixas para o sinal de entrada e como um filtro passa altas para o ruído, deslocando a potência do ruído para as altas freqüências como pode ser observado na Figura 2-7.

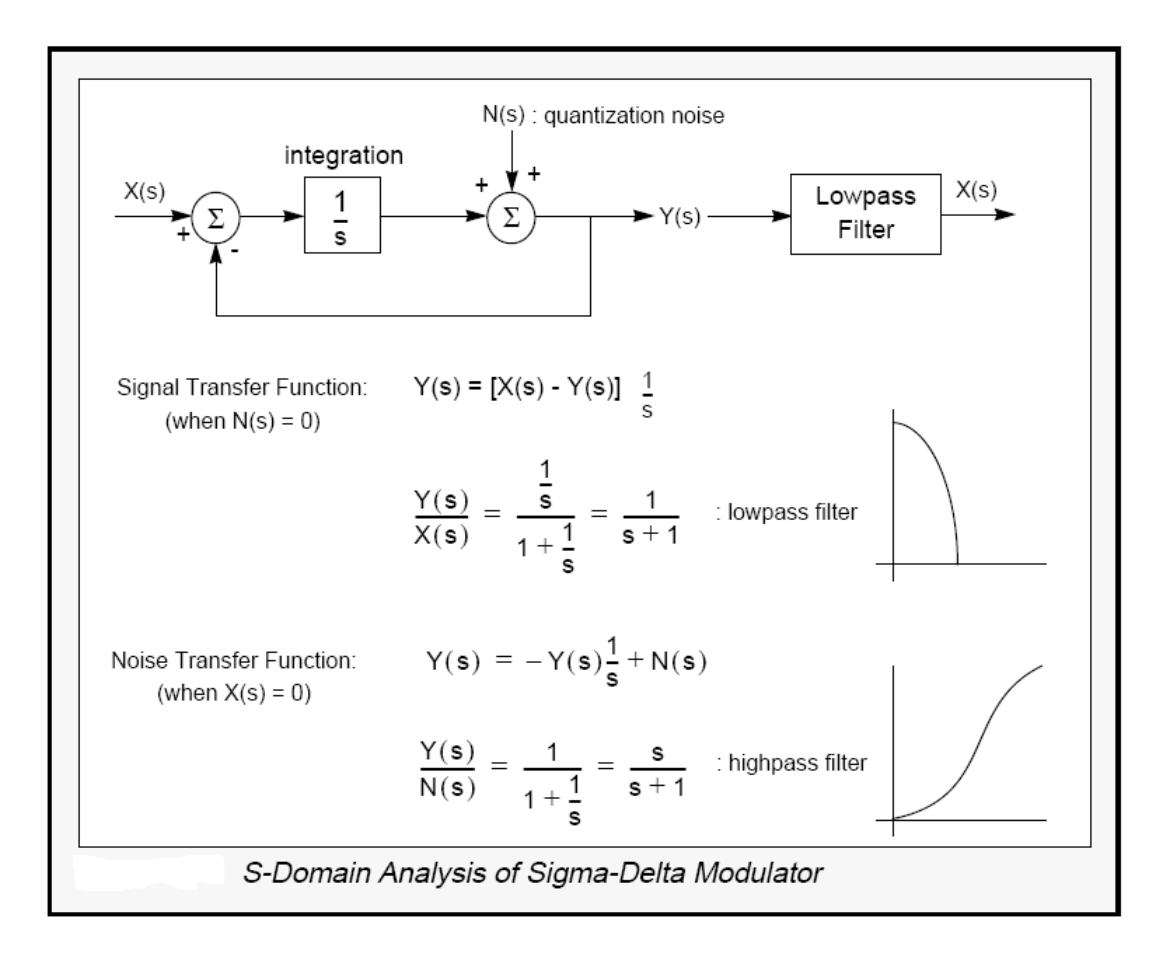


Figura 2-6: Análise do modulador Sigma-Delta no domínio da freqüência. Fonte:[16]

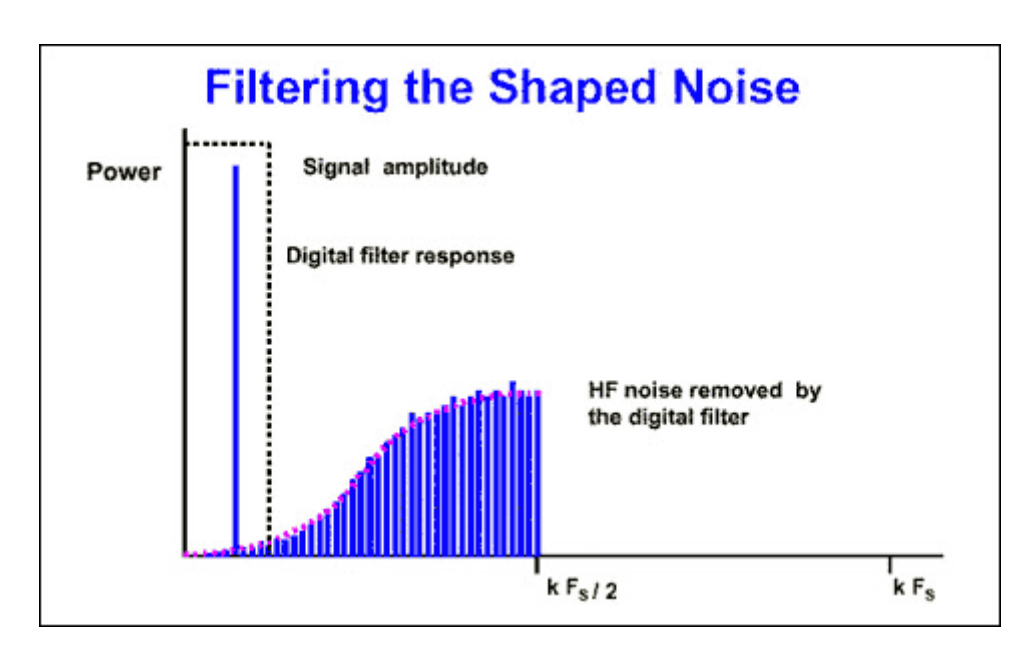


Figura 2-7: Efeito da modulação Sigma-Delta no sinal e no ruído de quantização. Fonte:[15]

O sinal gerado pelo modulador sigma-delta deve ser filtrado para eliminação do ruído acima da banda do sinal de interesse ( $F_s/2$ ), como mostrado Figura 2-7.

Este sinal filtrado tem uma SNR de [6]:

$$SNR = 30 \log(OSR) - 0.4006 + 10 \log(S_i)$$
 (2-21)

em que OSR é a taxa de sobre-amostragem, antes no texto referenciada por k.

Pela equação ( 2-21 ), a cada duplicação de *OSR* temos um a melhora de 9 dB na *SNR*.

Para melhorar a SNR sem aumentar a sobreamostragem, pode-se usar conversor sigma-delta de ordem superior, cujos SNR's são ilustrados na Figura 2-8.

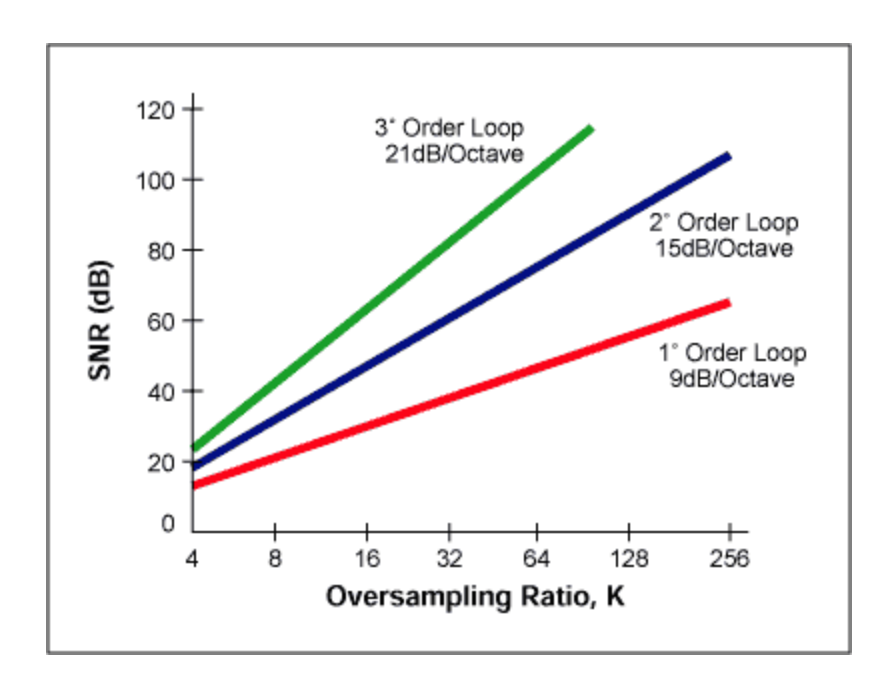


Figura 2-8: Relação entre SNR e OSR para Sigma-Delta de ordem superior. Fonte: [15]

Pode-se observar na Figura 2-9, de forma mais detalhada, o diagrama de um modulador sigma-delta de primeira ordem, que tem o seguinte princípio de funcionamento:

O conversor digital/analógico, de agora em diante no texto referenciado por DAC, transforma o bit de saída do modulador em duas tensões de referência:  $+V_{ref}$  e  $-V_{ref}$ .

O sinal de entrada  $X_i$ , deve ficar limitado na faixa:  $+V_{ref} < X_i < -V_{ref}$ .

 $+V_{ref}$  é subtraída do sinal de entrada quando a saída do modulador é bit "um".

-V<sub>ref</sub> é subtraída do sinal de entrada quando a saída do modulador é bit "zero".

A cada pulso de amostragem, esta diferença é acumulada pelo integrador e enquanto esta soma for positiva, um bit "um" é gerado na saída do modulador e enquanto for negativa, um bit "zero" é gerado.

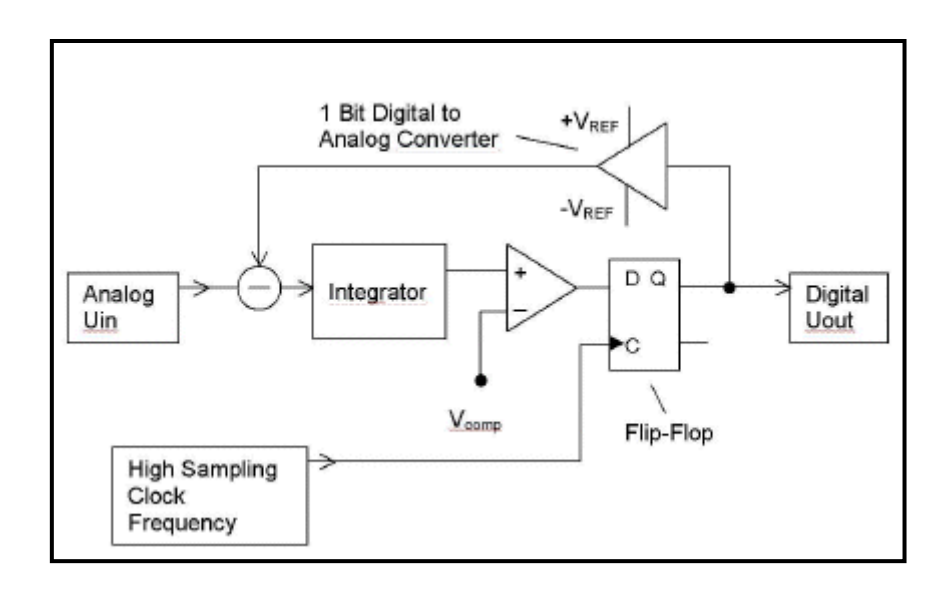


Figura 2-9: Detalhes de implementação do Modulador Sigma-Delta. Fonte:[16]

Desta forma, quando o sinal de entrada se aproxima de  $+V_{ref}$ , aumenta a densidade de "um" na saída do modulador e quando o sinal de entrada se aproxima de  $-V_{ref}$  a densidade de "zero" aumenta na saída do modulador, gerando assim um sinal digital PDM (pulse density modulation) característico do modulador sigma-delta, conforme mostrado na Figura 2-10, em que a senóide corresponde ao sinal de entrada, o bit mais escuro corresponde ao bit "um" na saída do modulador e o bit mais claro ao bit "zero".

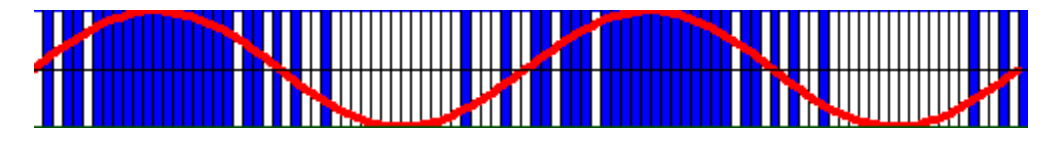


Figura 2-10: Modulação por Densidade de Pulso.

## Capítulo 3: Transdutor Sigma-Delta Térmico

No item 2.1 do capítulo 2 foi mostrado que o termistor tem característica de integrador, pois tem uma capacitância térmica intrínseca que permite ao dispositivo armazenar (carregar) energia térmica a partir de uma excitação externa e dissipar (descarregar) energia para o meio.

Foi mostrado também que a função de integração é feita sobre a diferença entre a temperatura do sensor e a temperatura do meio.

No item 2.2 do capítulo 2 foi mostrado que o modulador sigma-delta tem em sua topologia uma integração da diferença de dois sinais.

A partir desta observação surgiu a idéia de aproveitar a característica de soma e integração do termistor para realizar medições da temperatura da superfície do sensor através de uma topologia sigma-delta.

Desta forma o modulador sigma-delta elétrico observado na Figura 2-9 passa a ter a topologia mostrada na Figura 3-1 e na Figura 3-2, tornando-se um modulador sigma-delta térmico, em que a saída digital agora representa a temperatura do meio, modulada em *PDM*.

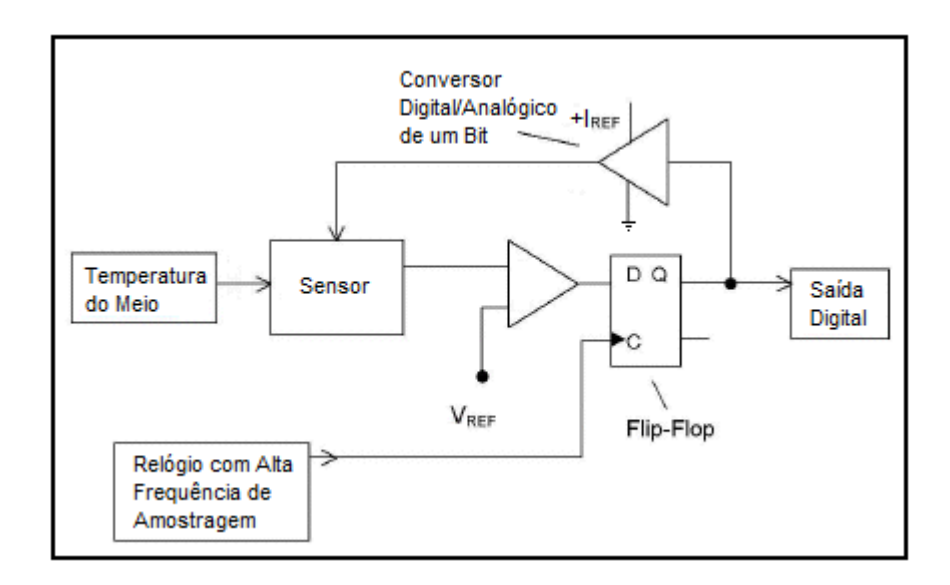


Figura 3-1: Topologia do Modulador Sigma-Delta com sensor termo-resistivo.

Adaptado de [16]

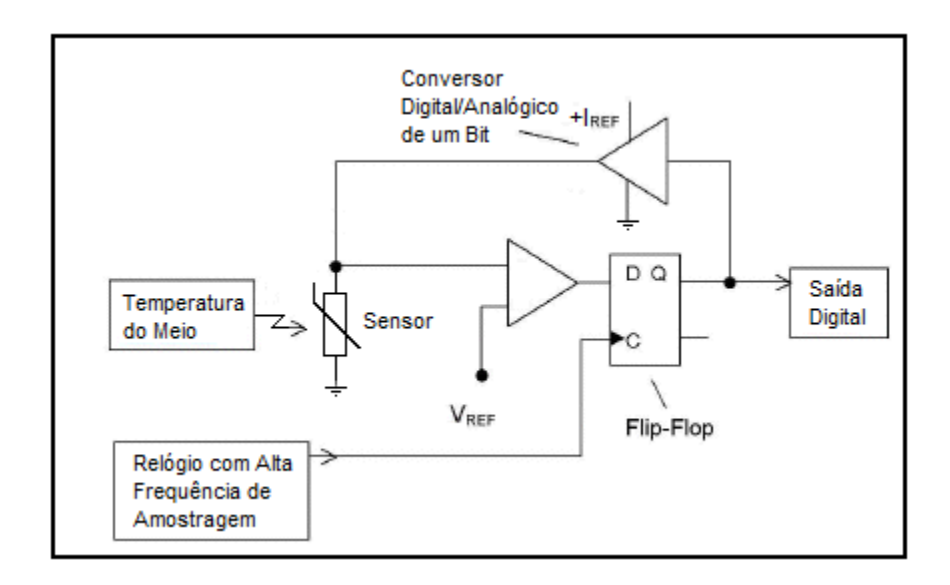


Figura 3-2: Conexão do Termistor na topologia Sigma-Delta. Adaptado de [16]

O sensor é excitado pelo DAC com corrente zero ou  $I_{ref}$ , a depender do sinal digital de saída, de tal forma que quando excitado com a corrente  $I_{ref}$ , a tensão em seus terminais é proporcional a sua resistência que tem uma relação biunívoca com sua temperatura, vide equações (2-3) e (2-10), desta forma uma das entradas do comparador segue a temperatura do sensor quando excitado com  $I_{ref}$ .

A outra entrada do comparador é uma tensão de referência equivalente à temperatura constante com que o sensor deve operar.

A realimentação do modulador mantém o sensor na temperatura de referência, pois se o sensor, aquecido por efeito Joule, ultrapassar a temperatura de referência, a corrente do *DAC* será cortada e ele se resfriará por dissipação. Se por outro lado, a temperatura, por dissipação, ficar menor que a de referência a corrente do *DAC* será restabelecida, mantendo assim o sensor com temperatura constante independente da temperatura do meio.

Para que a realimentação seja negativa, corrigindo a temperatura do sensor para o valor determinado por  $V_{ref}$ , os sensores PTC devem ser ligados ao terminal "mais" do comparador com  $V_{ref}$  ligada ao terminal "menos", e sensores NTC devem ser ligados ao terminal "menos" do comparador com  $V_{ref}$  ligada ao terminal "mais".

Além disto, o *DAC* deve gerar uma corrente de referência quando excitado com "zero" e cortar a corrente quando excitado com "um", pois "um" na saída significa que o sensor deve ser resfriado.

Para que seja possível medir a temperatura (tensão) do sensor quando este estiver esfriando por dissipação, ou seja, durante o tempo que a corrente estiver cortada, é necessário que no momento da amostragem o DAC excite o sensor com um pulso estreito de corrente, o tempo apenas suficiente para realizar a medição, de tal forma que não afete o resfriamento do mesmo, desta forma a corrente eficaz mínima fornecida ao sensor não é zero e sim  $I_{ref} \times D$ , em que D é a relação entre o tempo necessário para realizar uma amostragem e o período entre as amostragens. (duty-cycle)

A cada pulso do relógio, uma amostragem da temperatura do sensor será realizada e corrigida.

#### 3.1 - Análise do Circuito

O circuito proposto pode ser observado na Figura 3-3, em que foi inserida uma porta AND para possibilitar a leitura da temperatura do sensor durante seu resfriamento, período em que teoricamente, estaria desenergizado.

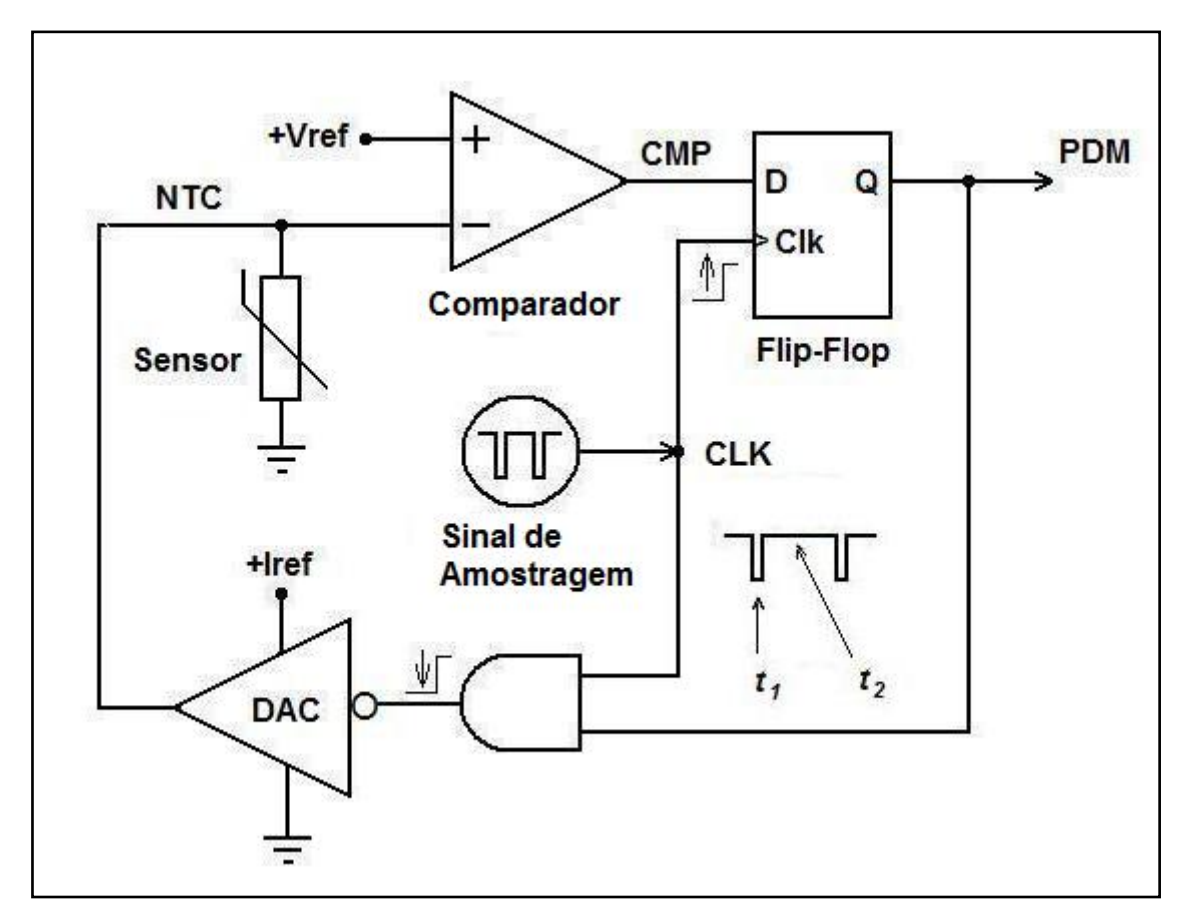


Figura 3-3: Topologia proposta para o modulador térmico.

Observou-se neste capítulo que este circuito, através de uma realimentação negativa, procura manter o sensor com temperatura constante  $T_{s0}$  e conseqüentemente sua resistência constante  $R_{s0}$ , dentro dos limites de precisão desejada, como demonstrado em [7].

Este equilíbrio térmico só é possível se a potência média fornecida ao sensor pelo circuito for igual à potência dissipada pelo mesmo.

Mostrou-se também que o circuito fornece ao sensor uma potência modulada em *PDM*, e sabe-se que a potência dissipada é proporcional a diferença de temperatura entre o sensor e o ambiente, desta forma:

$$P_i = G_{th0}(T_{s0} - T_a) (3-1)$$

Em que  $P_i$  é a potência fornecida pelo circuito e  $T_a$  é a temperatura ambiente.

Particularmente, como pode ser observado na Figura 3-4 tem-se que:

$$P_{max} = G_{th0}(T_{s0} - T_{min}) (3-2)$$

$$P_{min} = G_{th0}(T_{s0} - T_{max}) (3-3)$$

em que:

 $T_{max}$  é o valor máximo da temperatura submetida ao sensor.

 $T_{min}$  é o valor mínimo da temperatura submetida ao sensor.

 $P_{max}$  é a potência máxima fornecida pelo circuito:

$$P_{max} = V_{ref} I_{ref} \tag{3-4}$$

 $P_{min}$  é a potência mínima fornecida pelo circuito, que é a potência gerada pelo pulso de amostragem no resfriamento do sensor:

$$P_{min} = P_{max} \left( \frac{\rho_t}{\rho_t + 1} \right) \tag{3-5}$$

em que:  $\rho_t = t_1/t_2$  (vide Figura 3-3)

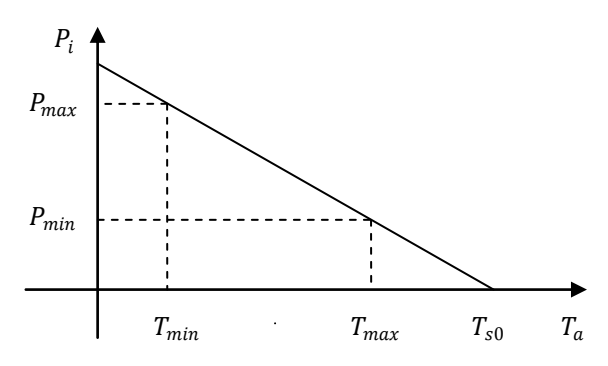


Figura 3-4: Potência X Temperatura ambiente no equilíbrio térmico.

Das equações (3-2), (3-3) e (3-5), tem-se que:

$$T_{s0} = T_{max} + \rho_t \Delta T \tag{3-6}$$

$$P_{max} = G_{th0}\Delta T(\rho_t + 1) \tag{3-7}$$

em que:  $\Delta T = T_{max} - T_{min}$ .

Como:

$$V_{ref} = I_{ref} R_{s0} \tag{3-8}$$

Das equações (3-4), (3-7) e (3-8) tem-se que:

$$V_{ref} = \sqrt{G_{th0}\Delta T(\rho_t + 1)R_{s0}}$$
 (3-9)

$$I_{ref} = \sqrt{G_{th0}\Delta T(\rho_t + 1)/R_{s0}}$$
 (3-10)

Assim, para que este circuito opere numa determinada faixa de temperatura, de  $T_{min}$  até  $T_{max}$ , é necessário apenas ajustar os valores de  $I_{ref}$  e  $V_{ref}$ , calculados a partir das equações (3-9) e (3-10).

O procedimento para o cálculo dos valores de referência para calibração do transdutor pode ser resumido como segue:

- (i) Determinar a faixa de temperatura que se deseja medir
- (ii) Calcular a temperatura de trabalho do sensor a partir da equação ( 3-6 ).
- (iii) Escolher o sensor adequado para esta temperatura de trabalho.
- (iv) Determinar experimentalmente os valores da condutância térmica a da resistência elétrica do sensor na temperatura de trabalho.
- (v) Calcular a tensão e corrente de referência a partir das equações ( 3-9 ) e( 3-10 ).

Assim, os valores de  $I_{ref}$  e  $V_{ref}$  são obtidos a partir das características estáticas do sensor, da faixa de medição definida e do ciclo de trabalho do relógio.

27

Observa-se que o tempo  $t_1$  deve ser maior que o atraso do circuito da saída do relógio (*CLK*) até a saída do comparador (*CMP*), (vide Figura 3-3) para garantir que na subida do pulso do relógio a saída do comparador esteja estável para leitura da temperatura do sensor no resfriamento.

Este pulso tem a finalidade de estimar a temperatura do sensor durante seu resfriamento, para tanto é estimada a tensão em seus terminais que é proporcional a sua resistência elétrica, pois o mesmo está sendo alimentado neste momento por corrente constante fornecida pelo DAC e a sua resistência elétrica tem uma relação linear com sua temperatura para pequenas variações.

Como esta medição de resistência está no domínio elétrico, a duração deste pulso não tem nenhuma relação com qualquer parâmetro térmico do sensor incluindo sua capacitância térmica.

É importante lembrar que, como a temperatura do sensor se mantém constante durante o processo de medição, só é necessário conhecer os parâmetros do sensor na temperatura de operação  $T_{s0}$ , reduzindo muito o trabalho de caracterização do mesmo.

O circuito proposto pode operar de forma linear em qualquer faixa de temperatura permitida pelo sensor, que pode ser *PTC* ou *NTC*, bastando ajustar a corrente e a tensão de trabalho.

A cada pulso de amostragem, é feita uma leitura da tensão nos terminais do sensor, que está relacionada com sua temperatura.

A variação da temperatura do sensor em torno de  $T_{s0}$  se apresenta como ruído na saída do circuito e pode ser minimizado com o aumento da freqüência de amostragem.

## 3.2 - Linearidade

Aqui se estabelece a relação entre o valor da temperatura ambiente e o valor médio do sinal gerado na saída do circuito, considerando que o sensor é mantido a uma temperatura constante.

Observa-se na Figura 3-3 que a potência fornecida ao sensor é  $I_{ref}V_{ref}$ , quando o sinal digital na entrada do DAC é "zero" em lógica positiva.

Observa-se também que a potência fornecida ao sensor é zero watt, quando o sinal digital na entrada do DAC é "um" em lógica positiva.

Por estas observações, o sinal de potência fornecida ao sensor pelo DAC pode ser escrito como:

$$P(t) = P_{max} \left( 1 - E_p(t) \right) \tag{3-11}$$

Em que  $E_p(t)$  é o sinal lógico (com valores zero ou um) na entrada do DAC.

Calculando-se o valor médio em ambos os membros da equação (3-11) obtêm-se:

$$\overline{P(t)} = P_{max} \left( 1 - \overline{E_p(t)} \right) \tag{3-12}$$

Observa-se na Figura 3-3 que o sinal  $E_p(t)$  é um AND lógico, entre o sinal lógico do relógio, e o sinal lógico da saída do modulador, que neste caso pode ser substituído por uma multiplicação resultando em:

$$P_i = P_{max} \left( 1 - \overline{clk} \, \overline{pdm} \right) \tag{3-13}$$

Em que  $P_i$  é a potência média entregue ao sensor para mantê-lo numa temperatura constante,  $\overline{clk}$  é uma constante do circuito que é o valor médio normalizado do sinal de relógio e  $\overline{pdm}$  é o valor médio normalizado (com valores entre zero e um) do sinal na saída do circuito que varia com a temperatura ambiente.

Substituindo (3-1) e (3-7) em (3-13) obtêm-se:

$$T_{s0} - T_a = \Delta T(\rho_t + 1)(1 - \overline{clk} \ \overline{pdm})$$
 (3-14)

De acordo com a Figura 3-3, tem-se que:

$$\overline{clk} = \frac{1}{\rho_t + 1} \tag{3-15}$$

Substituindo (3-15) em (3-14):

$$T_{s0} - T_a = \Delta T(\rho_t + 1) \left( 1 - \frac{\overline{pdm}}{\rho_t + 1} \right) \tag{3-16}$$

Substituindo (3-6) em (3-16):

$$T_{max} + \rho_t \Delta T - T_a = \Delta T (\rho_t + 1) \left( 1 - \frac{\overline{pdm}}{\rho_t + 1} \right)$$
 (3-17)

Simplificando:

$$T_a = T_{min} + \Delta T \overline{pdm} \tag{3-18}$$

A equação (3-18) mostra um resultado muito importante, o valor médio do sinal gerado por deste circuito tem uma relação intrinsecamente linear com o valor do mensurando que é a temperatura ambiente.

Esta linearidade não depende de nenhum parâmetro, nem do sensor nem do circuito e é válida para qualquer valor de temperatura na faixa de medição de  $T_{min}$  até  $T_{max}$ , considerando que o sensor mantém seus parâmetros constantes quando em uma temperatura constante.

Tendo a faixa de temperatura definida mais as características do sensor e do circuito, só é necessário polarizar o circuito com os valores de  $V_{ref}$  e  $I_{ref}$  para que o valor médio da saída siga a equação (3-18).

O valor médio do sinal PDM gerado na saída do circuito é obtido com um filtro passa-baixas, analógico ou digital.

## 3.3 - Radiômetro

Para medição de radiação térmica, usa-se o circuito na forma diferencial, em que um sensor, protegido da radiação térmica é usado para medir a temperatura ambiente, como mostrado até aqui, e outro sensor é usado para medir a temperatura ambiente mais a radiação térmica, como pode ser observado na Figura 3-5.

Como visto no capítulo 2, o comportamento dinâmico de um termistor sob efeito da temperatura ambiente a da radiação térmica, pode ser modelado de acordo com a seguinte equação:

$$P_i + A_{th}H = G_{th}(T_s - T_a) + C_{th}\frac{dT_s}{dt}$$
 (3-19)

Como o sensor opera com temperatura constante, a equação (3-19) pode ser escrita como:

$$P_i + A_{th}H = G_{th}(T_s - T_a) (3-20)$$

Substituindo (3-7), (3-13) e (3-15) em (3-20):

$$G_{th}\Delta T(\rho_t+1)\left(1-\frac{\overline{pdm}}{\rho_t+1}\right) + A_{th}H = G_{th}(T_s-T_a)$$
 (3-21)

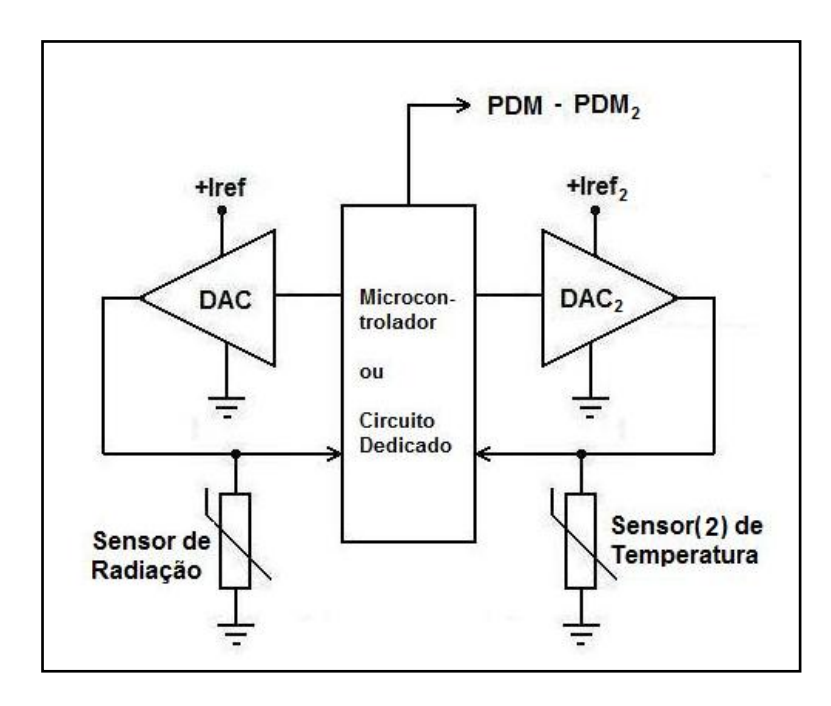


Figura 3-5: Circuito proposto para medição de radiação térmica.

Considerando que ambos os sensores estão submetidos à mesma temperatura ambiente, protegidos de convecção térmica forçada e operando na mesma faixa de temperatura com o sensor 2 protegido de radiação térmica, a equação (3-18) pode ser usada na equação (3-21), que após simplificação fica:

$$H = \frac{G_{th}\Delta T}{A_{th}} \left( \overline{pdm} - \overline{pdm}_2 \right) \tag{3-22}$$

Como ambos os sinais *PDM* tem a mesma freqüência de amostragem a equação (3-22) pode ser assim escrita:

$$H = \frac{G_{th}\Delta T}{A_{th}} \left( \overline{pdm - pdm_2} \right) \tag{3-23}$$

A equação (3-23) mostra um resultado importante: a radiação térmica medida é intrinsecamente linear com a média da diferença entre os sinais *PDM* gerados pelos sensores.

Observa-se que, ajustando-se os sensores para operarem na mesma faixa de temperatura pelas equações ( 3-9 ) e ( 3-10 ), pode-se obter valores distintos

de tensão e corrente de referencia para cada sensor devido a suas características estáticas, porém é o fato de ambos operarem na mesma faixa de temperatura que garante a linearidade, não sendo necessário portanto que os sensores tenham exatamente as mesmas características.

Observa-se que não é necessário filtrar os dois sinais *PDM*, somente a diferença entre eles, então o transdutor tem dois sensores e somente uma rotina de filtro, que reduz o processamento.

A equação (3-22) mostra que a radiação máxima que pode ser medida ocorre quando  $\overline{pdm}$  é máximo, ou seja  $\overline{pdm} = 1$ .

Substituindo  $\overline{pdm}=1$  na ( 3-22 ), calculando  $\overline{pdm}_2$  pela equação ( 3-18 ) e considerando o pior caso, que é quando a temperatura ambiente é máxima, obtêm-se:

$$H_{max} = \frac{G_{th}}{A_{th}} \left( T_{max} - T_{a(max)} \right)$$
 (3-24)

Para dimensionar os valores de tensão e corrente de referência do circuito medidor de radiação térmica, deve-se conhecer: o valor máximo da radiação que se pretende medir, os parâmetros estáticos dos dois sensores, os valores máximo e mínimo da temperatura no ambiente onde se deseja medir a radiação térmica, procedendo como a seguir:

- (i) Fazer  $T_{min} = T_{a(min)}$ , que é a menor temperatura a que o sensor vai ser submetido considerando radiação zero.
- (ii) Determinar  $T_{max}$ , que é a máxima temperatura a que o sensor será submetido considerando radiação máxima, pela equação ( 3-24 ),.
- (iii) Com  $T_{min}$  e  $T_{max}$  definidos, seguir o mesmo procedimento definido no item 3.1 para na calibração do transdutor de temperatura para ambos os sensores.

# Capítulo 4: Implementação Física

No capítulo 3 foi proposta uma topologia para o modulador sigma-delta térmico (Figura 3-3) e foi feita uma análise teórica do seu comportamento, verificandose que sua resposta é linear para medição de temperatura e radiação térmica.

Neste capítulo são mostradas uma simulação e duas implementações físicas, uma chamada analógica e outra digital em função do tipo de filtro utilizado.

## 4.1 – Simulação e Implementação Analógica

Neste item é mostrado um circuito que foi concebido para validar a topologia proposta, usando componentes eletrônicos digitais e analógicos discretos.

Uma foto do circuito pode ser observada na Figura 4-1.

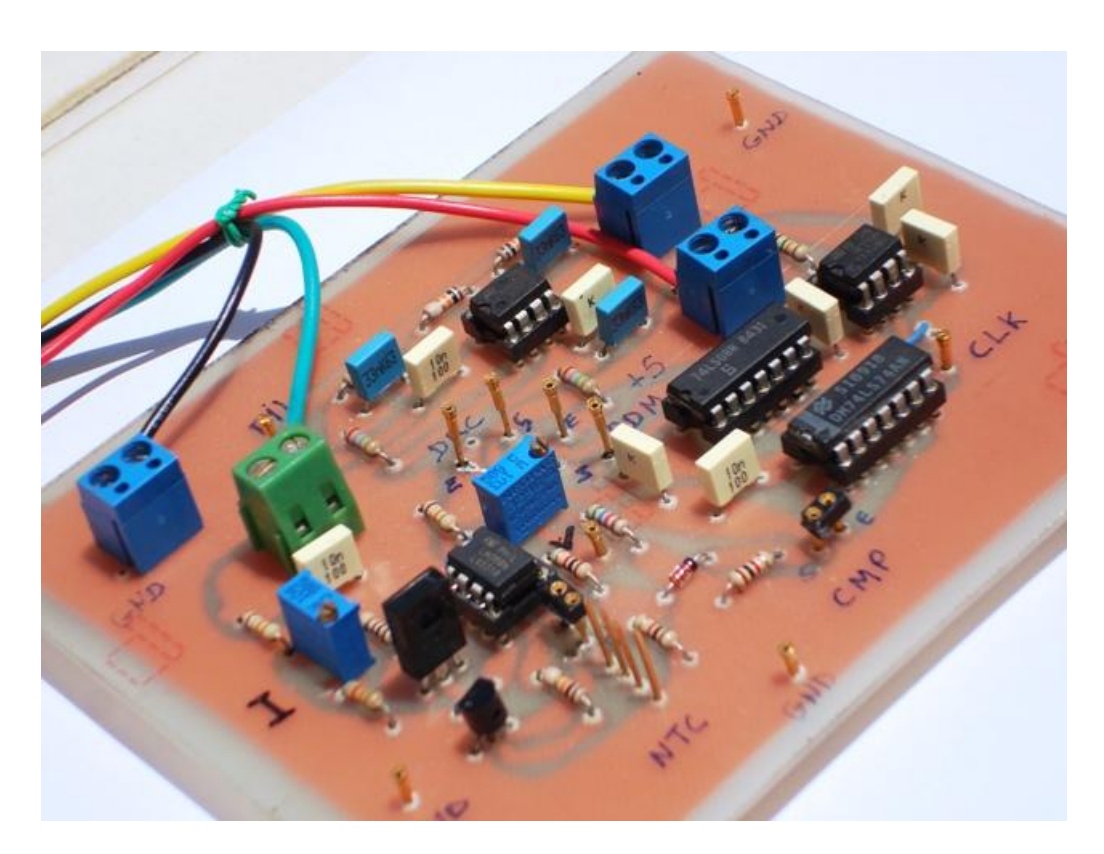


Figura 4-1: Foto do Protótipo usando Componentes Discretos.

Para facilitar o projeto, o circuito que implementa a topologia apresentada na Figura 3-3 foi dividido em blocos funcionais como pode ser observado na Figura 4-2.

Cada bloco foi projetado separadamente e testado num simulador de circuito, em seguida, após a simulação do circuito completo, foi realizada a montagem em bancada usando componentes reais.

Esta estratégia mostrou-se bastante proveitosa, pois as funcionalidades puderam ser validadas sem uso de bancada, acelerando a fase de desenvolvimento do projeto.

Os blocos funcionais da Figura 3-3, observados na Figura 4-2, são:

- **Polarizador**, que é o *DAC* da Figura 3-3, cuja entrada vem do bloco de controle e cuja saída alimenta o sensor que por sua vez está ligado à entrada "menos" do comparador por se tratar de um sensor *NTC*.
- **Sensor**, que é o integrador e o subtrator do transdutor sigma-delta.
- **Comparador**, que compara a temperatura de referência representada por  $V_{ref}$ , com a temperatura do sensor representada pela tensão em seus terminais. A saída do comparador é a entrada do circuito de controle.
- **Controle**, que amostra e segura a saída do comparador (*sample-hold*), gerando: o sinal *PDM* de saída, o sinal de realimentação do sistema e o pulso para leitura da temperatura do sensor quando este não estiver energizado.
- Filtro Passa-Baixas, que transforma o trem de bits PDM em seu valor médio.
- **Escala**, que transforma o valor gerado pelo filtro em valores numa escala de temperatura.

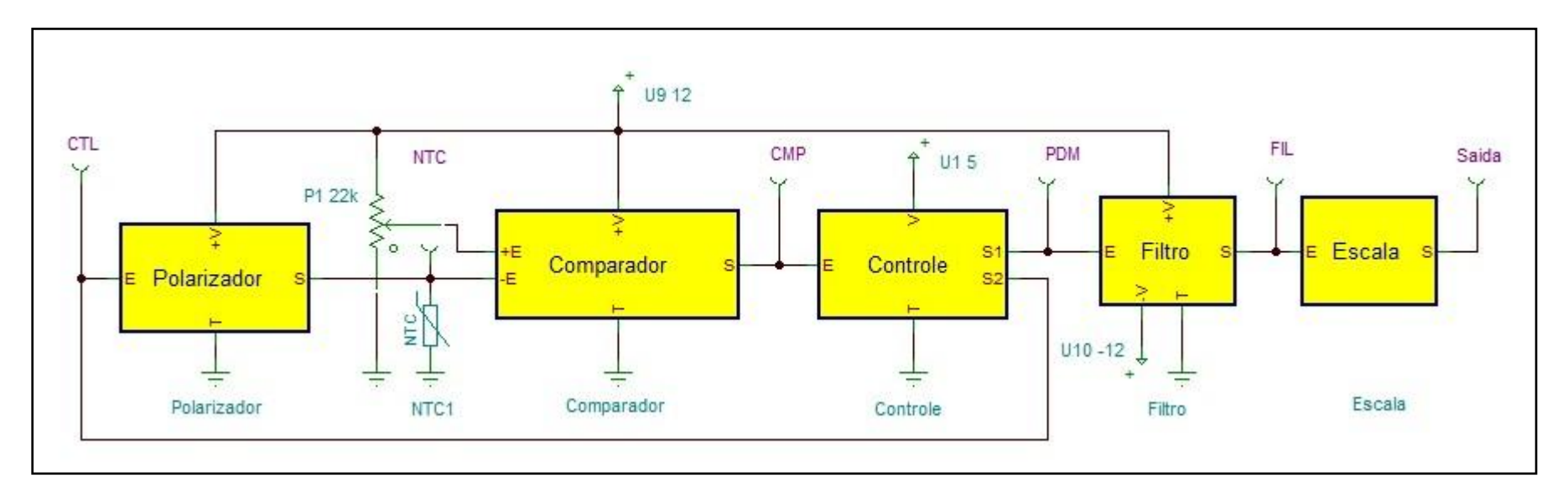


Figura 4-2: Diagrama geral em blocos do circuito Transdutor Sigma-Delta.

#### 4.1.1 - Circuito Polarizador

O polarizador, cujo circuito detalhado pode ser observado na Figura 4-3, tem a função de gerar energia para manter o sensor numa temperatura constante apesar da dissipação de potência para o meio ambiente.

É um gerador de corrente de precisão no qual, o amplificador operacional garante uma tensão constante no emissor de  $T_1$  e consequentemente uma corrente constante em seu coletor que pode ser ajustada por  $P_2$ .

A corrente gerada por este circuito é desviada para o terminal de terra através de  $T_2$ , quando recebe um nível lógico "alto" na entrada, vindo do bloco de controle.

Quando o polarizador recebe um nível lógico "baixo" na entrada, a corrente flui para a saída, na qual está ligado o sensor.

Então, um nível lógico "baixo" na entrada, aquece o sensor com corrente constante e um nível lógico "alto" corta a corrente do sensor, fazendo-o resfriar por dissipação.

No circuito real, o amplificador operacional TL081C, foi substituído pelo LM358N, por ser mais adequado para trabalhar com fonte única.

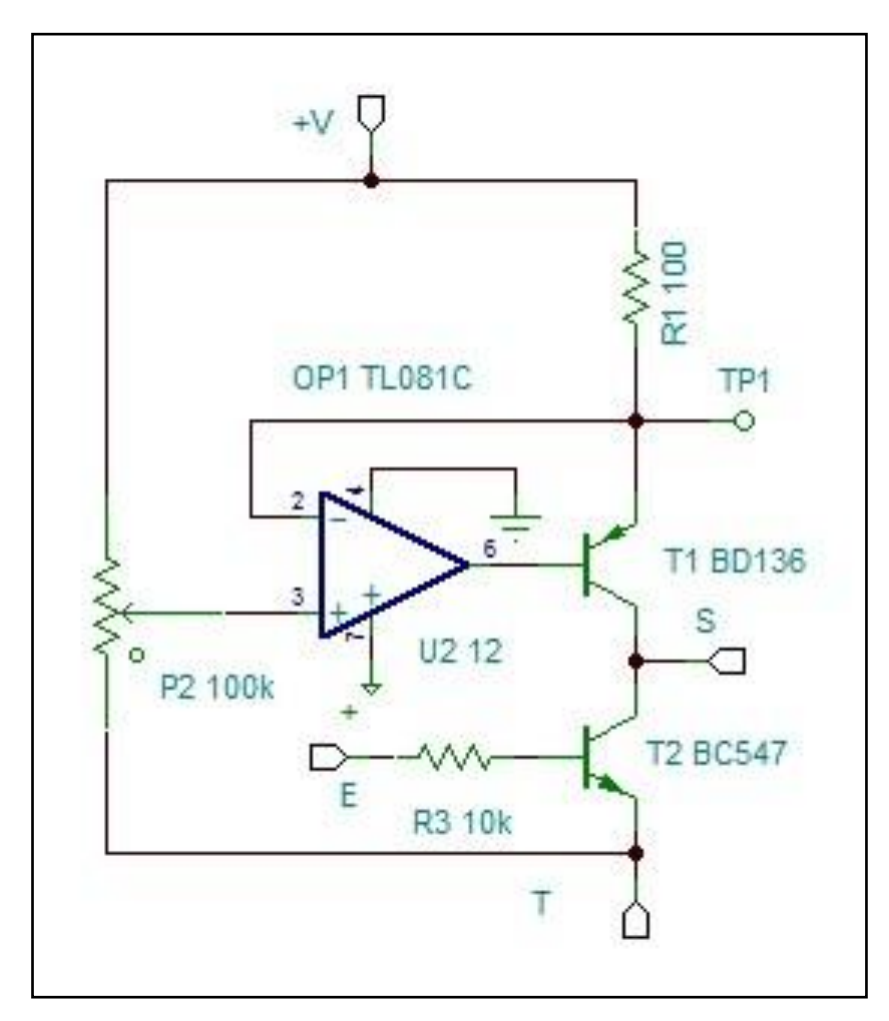


Figura 4-3: Circuito do Polarizador.

## 4.1.2 – Circuito Comparador

O circuito comparador, observado na Figura 4-4, tem a função de detectar qualquer variação de temperatura do sensor em relação à temperatura de trabalho.

Os resistores  $R_1$ ,  $R_3$ ,  $R_6$  e o diodo  $D_1$ , fazem uma adaptação do nível de saída do amplificador operacional, que é de +2V e +10V, para os níveis de +0,2V e +2,9V compatíveis com TTL.

A tensão de saída do circuito comparador pode ser calculada por:

 $V_{sc} = (V_c - 2V_d)/3$ , sendo  $V_c$  a tensão na saída do AmpOp e  $V_d$  a queda de tensão no diodo, para  $V_c > 2V_d$ .

Na versão digital, este circuito é substituído por um comparador interno ao microcontrolador e Vref será uma variável da rotina de aquisição de dados.

No circuito real, o amplificador operacional TL081C, foi substituído pelo LM358N, por ser mais adequado para uso com fonte única e os resistores de 10k foram substituídos por resistores de 1k por serem mais adequados para interface com os circuitos TTL utilizados.

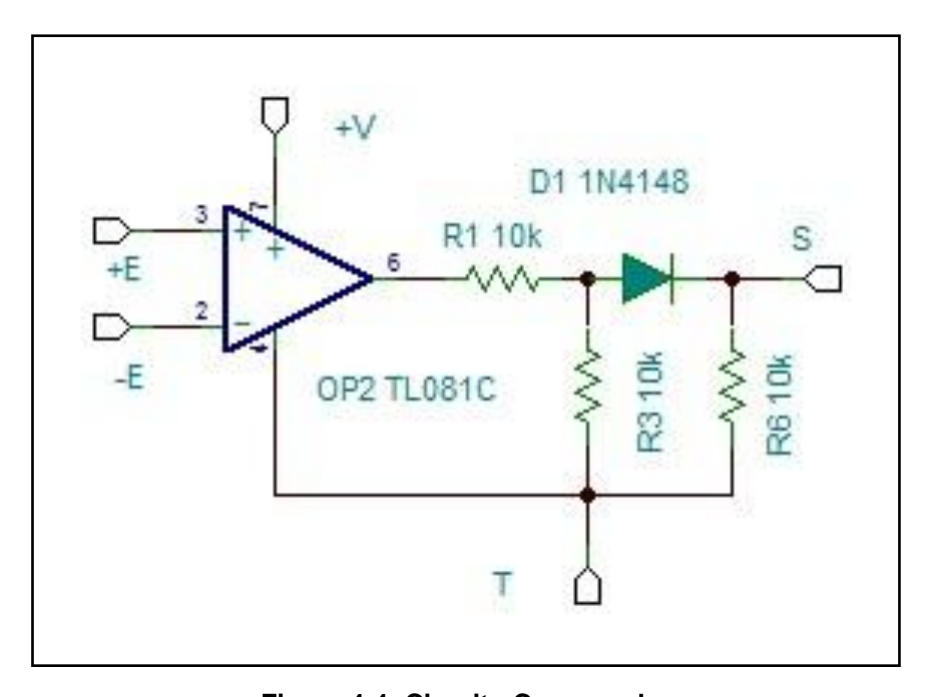


Figura 4-4: Circuito Comparador

#### 4.1.3 - Circuito de Controle

O circuito de controle, observado na Figura 4-5, tem a função de amostrar e segurar a saída do comparador, gerando na saída  $S_1$ , o sinal modulado em densidade de pulso (PDM) da temperatura ambiente.

Em  $S_2$  é gerado o sinal que controla o aquecimento do sensor através do polarizador.

Quando o sinal *PDM* é "zero", o sensor está com a temperatura inferior à de trabalho, neste caso o circuito gera  $S_2 = 0$  para aquecê-lo.

Quando o sinal PDM é "um", o sensor precisa esfriar, neste caso a porta AND  $U_1$  deixa passar apenas o pulso necessário para de leitura da temperatura do sensor.

O oscilador é um circuito astável usando o temporizador clássico 555 que pela sua topologia interna:

o tempo de "zero" é  $t_1 = 0.693 R_{13} C_2$ 

o tempo de "um" é  $t_2 = 0.693(R_{12} + R_{13})C_2$ 

A descida do pulso do oscilador excita o sensor através da porta AND  $U_1$  durante o resfriamento do mesmo e na subida do pulso é feita a leitura da temperatura pelo flip-flop  $U_8$ .

Na versão digital, este circuito é substituído por uma rotina de aquisição de dados rodando numa interrupção de relógio do microcontrolador funcionando na freqüência de amostragem definida.

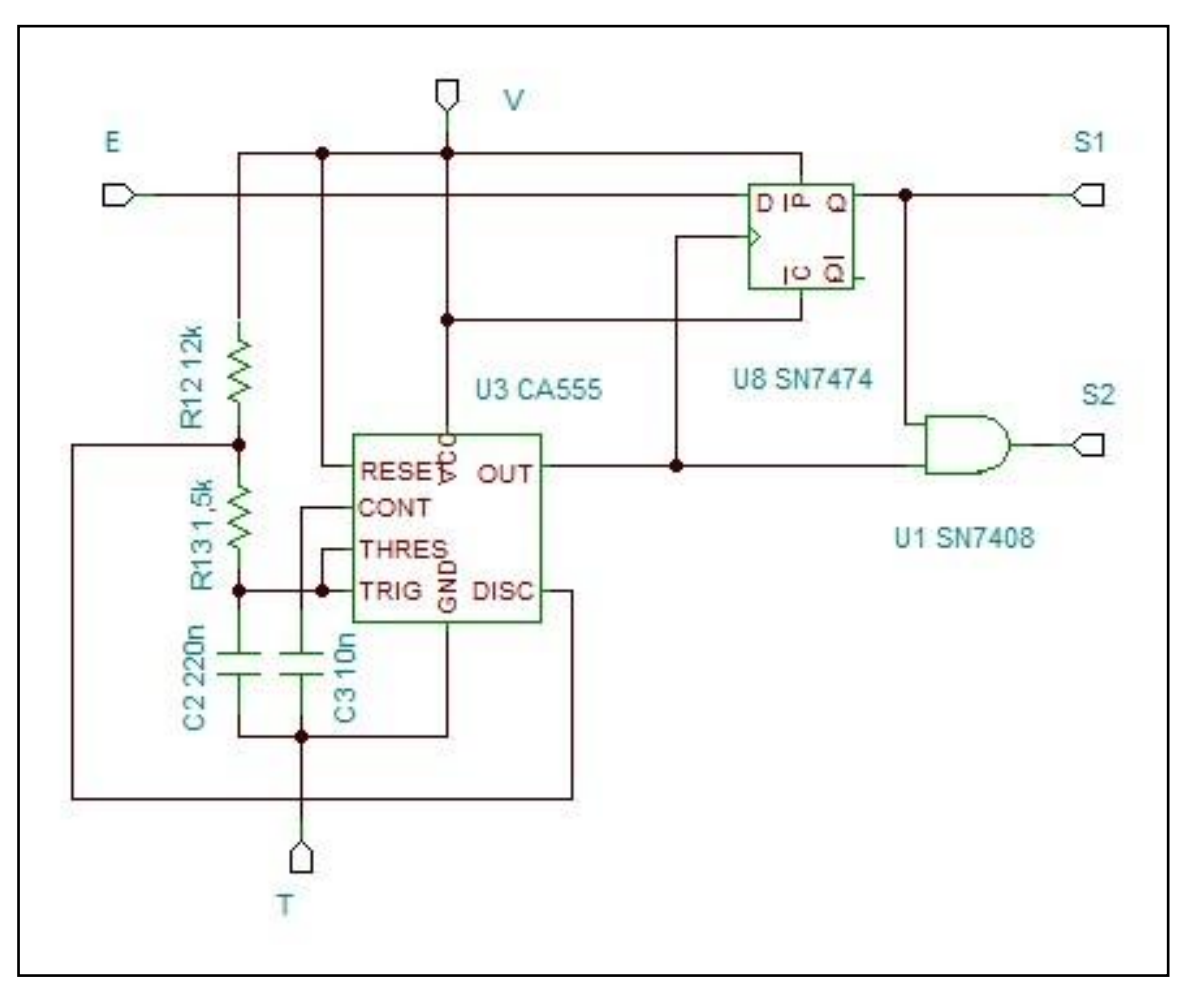


Figura 4-5: Circuito de Controle

### 4.1.4 - Filtro Passa-Baixas

O circuito filtro passa-baixas observado na Figura 4-6, tem a função de transformar o sinal digital *PDM* num sinal analógico proporcional a temperatura medida.

Como demonstrado em [12], o conversor sigma-delta térmico de primeira ordem tem seu pólo em:

$$p_{sr} = \frac{G_{th0}}{C_{th0}} \frac{\Delta T}{2} - p \tag{4-1}$$

em que p é calculado pela equação (2-17).

Como o circuito limita a banda do sinal em  $p_{sr}$ , ele foi considerado como o valor da freqüência máxima do sinal.

Substituindo-se na equação (4-1) os valores das condições de testes mostrados no item 4.1.5, obtêm-se para a freqüência de corte em 3dB do circuito o valor de 2,865 rad/s ou 0,456 Hz..

Foi então usado um filtro Butterworth com três pólos iguais na freqüência de 1Hz e atenuação de 60 dB em 10 Hz ou 20 dB por década na banda de rejeição para cada pólo.

Dois dos pólos foram implementados usando topologia Sallen-Key [18] e o terceiro pólo foi implementado usando um seguidor de tensão RC.

Os 3 pólos são obtidos pelos pares ( $R_{10}$ ,  $C_{10}$ ), ( $R_{11}$ ,  $C_{11}$ ) e ( $R_{21}$ ,  $C_{21}$ ) do circuito da Figura 4-6, cuja freqüência de corte é dada por  $1/2\pi RC$  [18].

Nesta implementação é usado um filtro analógico pela facilidade de testes no ambiente de simulação e bancada.

Na versão digital, este circuito é substituído por um filtro digital exigindo, portanto, que o microcontrolador a ser utilizado tenha funções de DSP (processador digital de sinais).

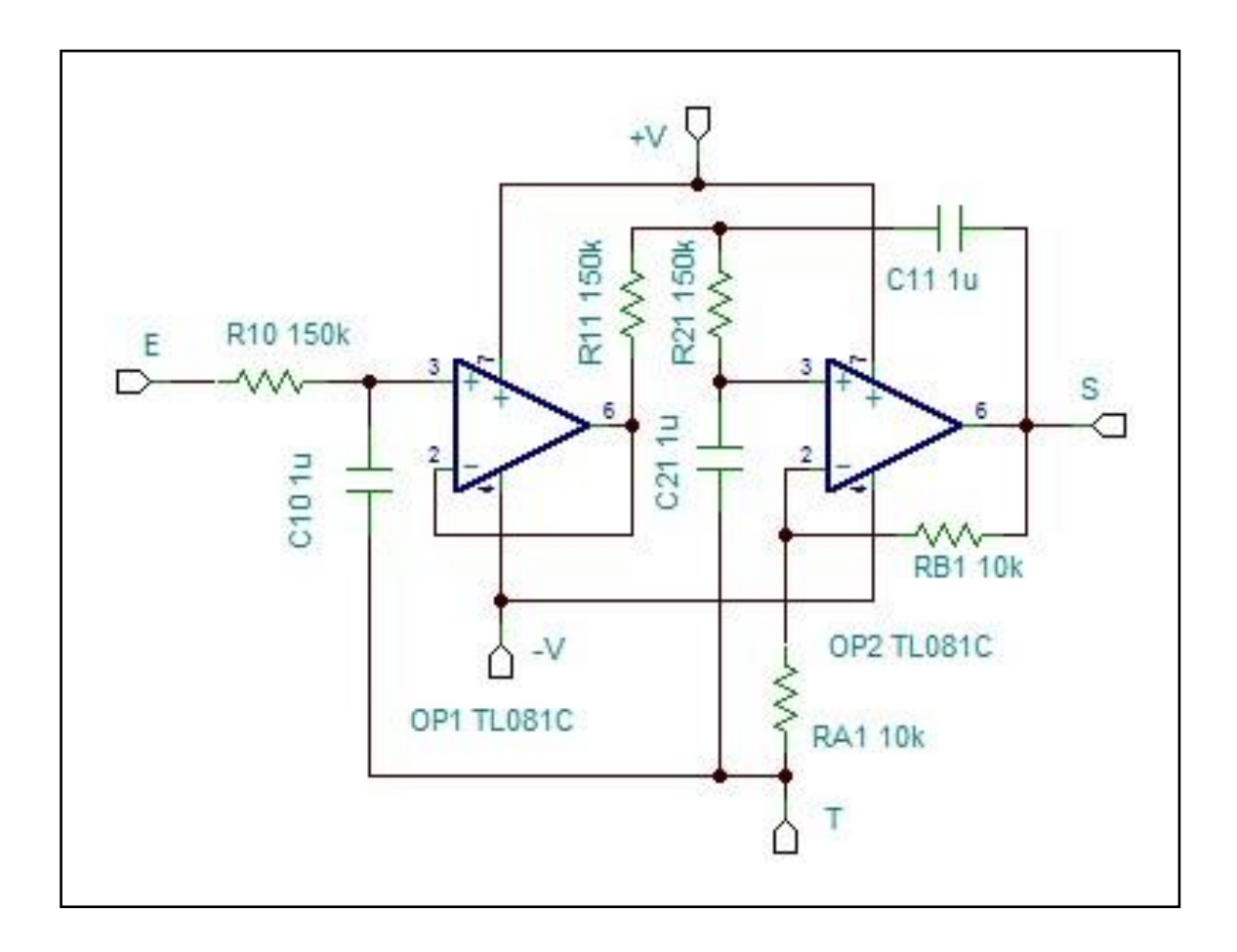


Figura 4-6: Filtro Passa-Baixas analógico.

### 4.1.5 - Resultados

Os resultados obtidos com o simulador de circuitos podem ser observados na Figura 4-7, 4-8 e 4-9.

Os resultados de bancada obtidos com o circuito real podem ser observados na Figura 4-9.

O transitório dos sinais, *CMP* (tensão saída do comparador), *NTC* (tensão no sensor) e *PDM* (tensão na saída do modulador), obtidos com o simulador, podem ser observados na Figura 4-7.

Observa-se que o sinal *PDM* fica em zero comandando o aquecimento inicial do sensor durante 5 segundos. Depois que o sensor atinge a temperatura de trabalho, o sinal *PDM* se alterna buscando estabilizar a temperatura do sensor.

Até pouco mais de um segundo a temperatura do sensor aumenta lentamente, pois o gerador de corrente está saturado devido ao valor alto da resistência do sensor na temperatura ambiente, em seguida o gerador de corrente entra na região linear e o sensor excitado com corrente constante acelera o aquecimento até atingir a temperatura de trabalho em 5 segundos, o que pode ser observado pelo sinal de tensão *NTC*, lembrando que tensão mais baixa significa temperatura mais alta e vice versa.

O sinal de tensão na saída do comparador, até 5 segundos, está em nível baixo indicando que a temperatura do sensor é menor que a de referência, depois, a temperatura do sensor fica alternando entre maior que e menor que a temperatura de referência como conseqüência da ação do circuito na tentativa de manter o sensor o mais constante possível.

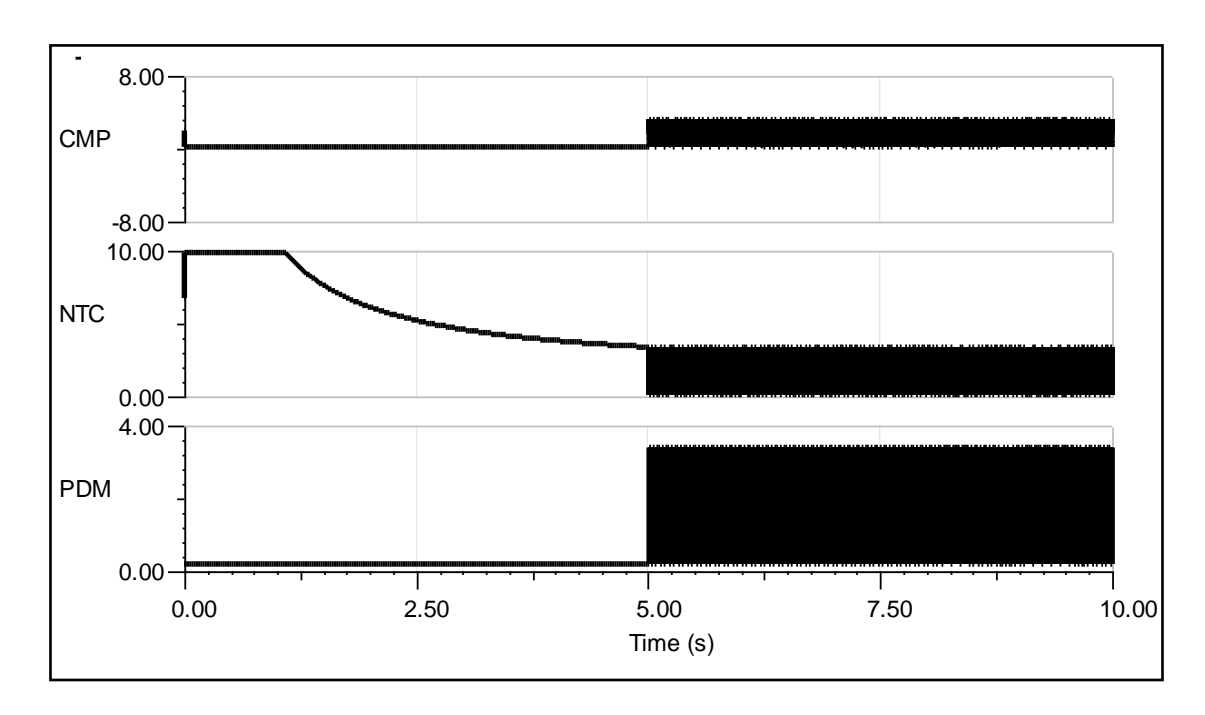


Figura 4-7: Transitórios do aquecimento inicial do sensor.

A Figura 4-8 mostra detalhes da Figura 4-7 entre o período de 9.05 e 9.10 segundos.

Observa-se (*CMP*), o resfriamento gradativo do sensor através da queda de tensão gradativa a cada pulso de leitura durante o período em que PDM é "um" (sensor resfriando).

Observa-se também na saída do comparador o aquecimento do sensor através do aumento gradativo da tensão, quando *PDM* está em "zero" (sensor aquecendo).

Observa-se que a duração do aquecimento ou resfriamento depende da temperatura do sensor no momento da transição.

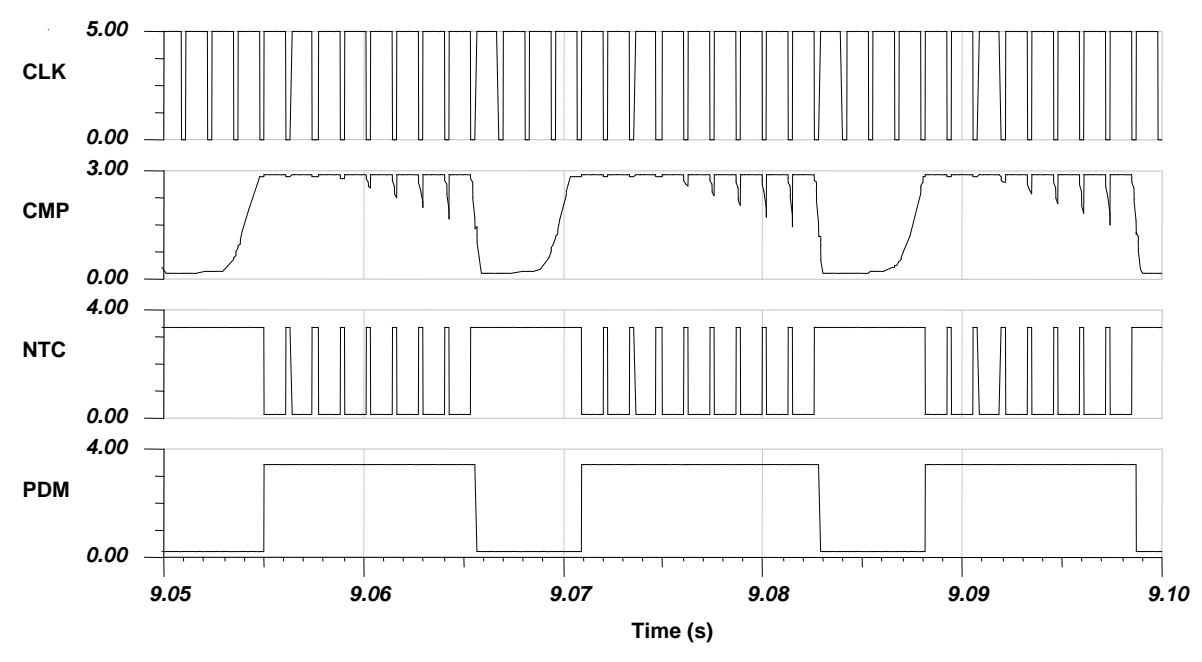


Figura 4-8: Resfriamento e aquecimento do sensor em equilíbrio térmico.

Foram executadas várias medições e alguns dos valores podem ser observados na Tabela 4-1.

Tabela 4-1: Condições de teste e valores obtidos sem DSP.

Parâmetros	Valores	Ref. (°C)	Analógico (V)	Simulado (V)
t1 (s)	0,000234	67,00	7,93	6,80
t2 (s)	0,001090	65,00	7,62	6,61
Fs (Hz)	755,29	63,00	7,38	6,41
t1/t2 (%)	21,47	60,00	7,00	6,12
$R_{s0}\left(\Omega\right)$	163,3	58,00	6,74	<i>5,9</i> 3
Tmin (°C)	0,00	55,00	6,38	5,64
Tmax (°C)	68,60	52,00	6,04	5,35
ΔT (°C)	68,60	48,00	5,56	4,96
Vref (V)	3,38	43,60	5,05	4,54
Iref (mA)	20,72	40,00	4,61	4,19

Na Figura 4-9, obtida a partir dos dados da Tabela 4-1, pode ser observada a linearidade obtida com o simulador e com o circuito real, em que r é o coeficiente de correlação de Pearson [22], que mede a linearidade existente entre duas variáveis de tal forma que r=1 significa uma relação linear perfeita e ocorre quando todos os pontos estão sobre a reta de regressão.

Com o simulador observa-se uma linearidade perfeita entre a temperatura do meio e o valor médio do sinal *PDM*, enquanto que com o circuito de teste observa-se uma linearidade muito forte, ratificando portanto, a previsão da equação (3-18).

Nestes testes iniciais de linearidade foi usado um filtro analógico, como descrito no item 4.1.4, para obtenção do valor médio sinal *PDM*, devido à facilidade de simulação e implementação, porém na implementação com microcontrolador foi usado um filtro digital.

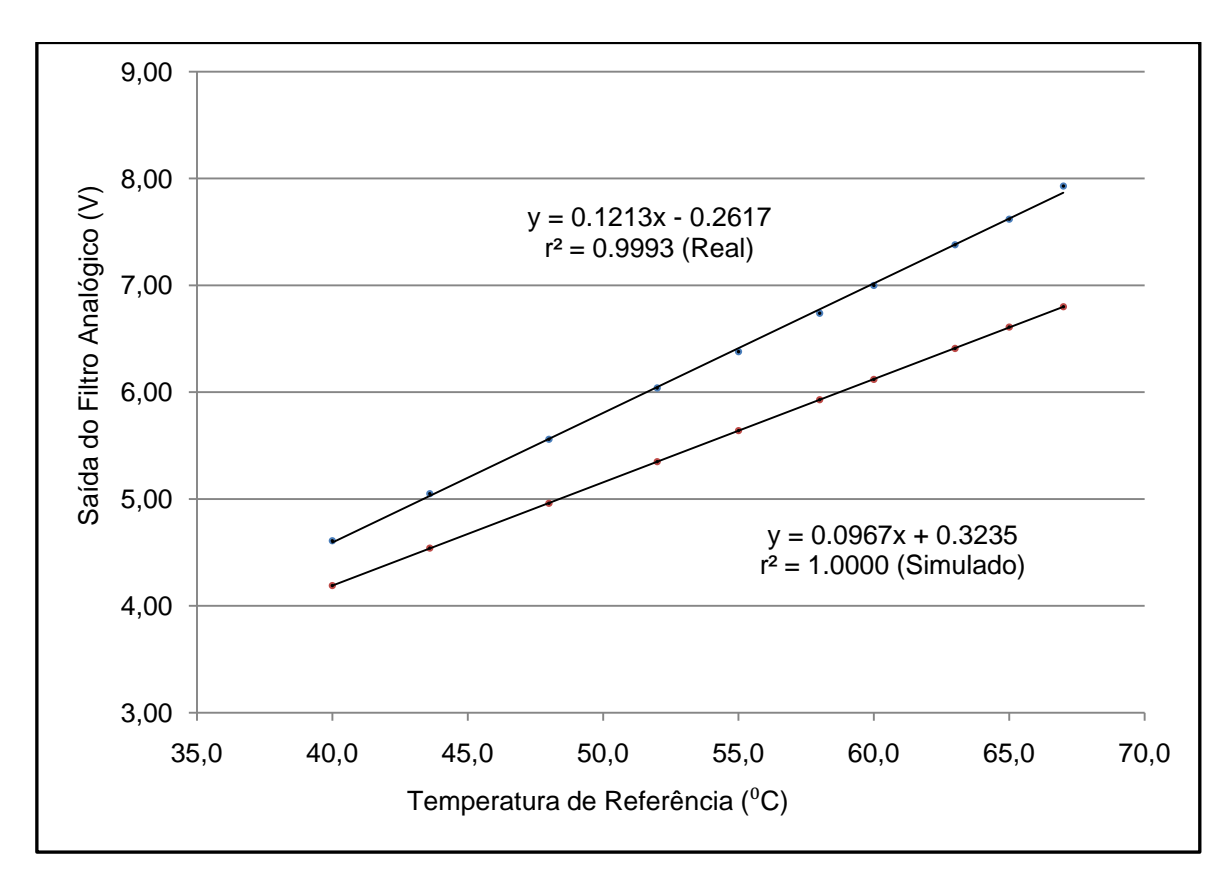


Figura 4-9: Linearidade Obtida com o Circuito Discreto.

A seguir são relacionadas as condições de teste:

Características do sensor NTC:

$$A = 0.01366 \Omega$$
  $B = 3334 K$ 

$$C_{th}$$
= 10,73 mJ/K  $G_{th}$ = 0,841 mW/K

Faixa da temperatura ambiente:

$$T_{min} = 0.0 \,^{\circ}\text{C}$$
  $T_{max} = 68.6 \,^{\circ}\text{C}$ 

Ponto de operação do sensor:

$$T_{s0} = 83,4$$
 °C  $R_{s0} = 163,3 \Omega$ 

Freqüência de sobreamostragem:

$$F_{\rm s}$$
 = 755 Hz  $ho_t$  = t<sub>1</sub>/t<sub>2</sub> = 21,47%  $I_{ref}$  = 3,38 V  $I_{ref}$  = 20,72 mA

Taxa de sobreamostragem:

$$p_{sr} = 2,865 \text{ rad/s}$$
  $OSR = 755/(2,865/\pi) = 827$ 

Pela equação ( 2-21 ), esta taxa de sobreamostragem é equivalente a uma SNR = 84,44 dB, que é uma SNR equivalente a um modulador convencional de 13 bits pela equação ( 2-19 ).

Como observado no capítulo 3, o tempo  $t_1$  deve ser maior que o atraso do circuito de CLK até CMP. Com os componentes ativos utilizados, este atraso foi de 150  $\mu$ s, sendo usado um tempo arbitrário de 230  $\mu$ s para o valor de  $t_1$ , garantindo assim o funcionamento confiável do circuito.

Uma vez definido o valor de  $t_1$  e da freqüência de amostragem, calcula-se o valor de  $t_2$  e conseqüentemente o valor de  $\rho_t$  que neste caso foi 21,47%.

O valor médio do sinal PDM na saída do filtro, foi medido com um voltímetro de bancada com 6 ½ dígitos e 0.0035% de precisão em DC.

Nos testes experimentais, as temperaturas de referência foram medidas com um termômetro de 4 ½ dígitos e 0.01 °C de precisão colocado junto ao sensor NTC numa estufa de laboratório cuja temperatura era mantida constante por um controlador.

## 4.2 - Implementação Digital

O circuito apresentado no item 4.1, foi concebido com componentes de fácil simulação e testes, com o objetivo apenas da validar a topologia proposta na Figura 3-3.

Os resultados experimentais mostrados, validam a topologia proposta para a implementação de um transdutor sigma-delta térmico linear de primeira ordem.

Na Figura 4-10, pode ser observada uma versão do circuito com os mesmos blocos funcionais, implementados agora no microcontrolador, TMS320F2812 [9], em que somente o bloco do polarizador (*DAC*) e o sensor ficaram fora do microcontrolador, pois as faixas de temperatura usadas exigiram um circuito de potência externo para conseguir manter o sensor com sua temperatura constante até cerca de 100 °C.

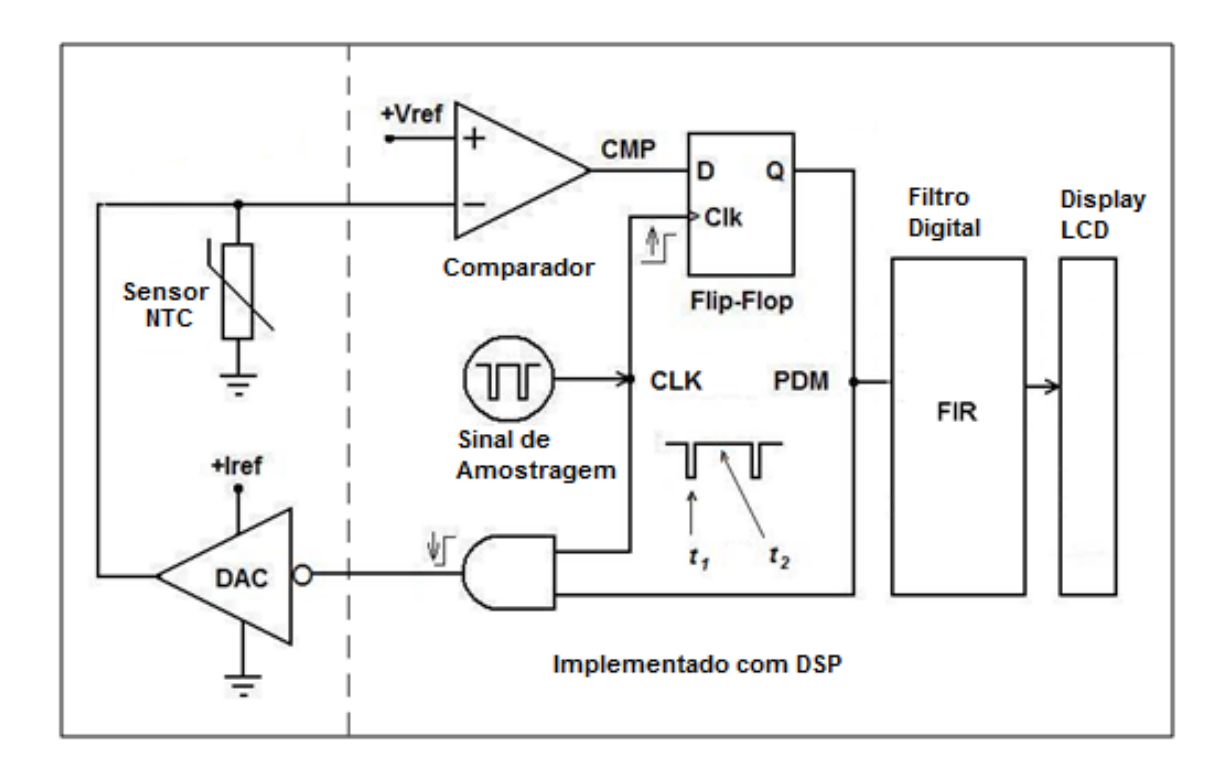


Figura 4-10: Transdutor Sigma-Delta térmico com Microcontrolador.

O circuito do polarizador (DAC), é o mesmo mostrado na Figura 4-3.

O comparador e o circuito de controle foi implementado por software, seguindo o seguinte pseudocódigo:

```
Início
```

DAC=0; Atraso(tDac);
Se NTC > Vref então PDM=0, Vá para Fim;
Se NTC < Vref então DAC=1, PDM=1;
End.

#### Em que:

NTC = Sinal de tensão no sensor. (entrada analógica)

DAC = sinal que aciona o polarizador. (saída digital)

*PDM* = sinal de temperatura a ser filtrado.

Vref = tensão de trabalho do sensor. (variável interna)

*tDac* = Atraso para estabilizar o sinal *NTC*. (variável interna)

Esta rotina é acionada por uma interrupção de relógio do microcontrolador na freqüência de amostragem escolhida e pode ser observada com detalhe no Apêncice I, com o nome de *Comb()*.

Para o circuito funcionar com sensor *PTC* é necessário inverter as desigualdades na rotina.

O bloco de controle gera um sinal *PDM* que é um trem de bits, cujo valor médio é linearmente proporcional à temperatura medida como demonstrado no item 3.2.

Na versão anterior, o valor médio deste trem de bits foi extraído diretamente do sinal *PDM* por um filtro analógico.

Nesta versão o valor médio do trem de bits foi calculado matematicamente pelo microcontrolador.

Foi realizada inicialmente a cada 256 bits, uma média aritmética simples dos últimos 4096 bits, de tal forma que a cada 256 bits é gerada em tempo real uma amostra do sinal *PDM* com palavra de 12 bits, como pode ser observado na Figura 4-11. Esta rotina pode ser observada em detalhes no Apêndice I, com o nome de *cpu\_timer0\_isr()* e este processo é conhecido como decimação.

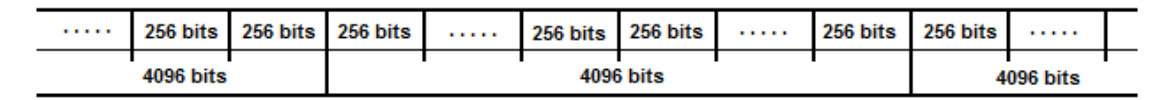


Figura 4-11: Janela deslizante usada para decimação do sinal PDM.

A cada amostra gerada foi calculada uma média ponderada das ultimas 128 amostras com os ponderadores calculados segundo a janela de Blackman [10].

A rotina usada para cálculo da média ponderada pode ser observada no Anexo I e a rotina usada para o cálculo dos pesos pode ser observada no Anexo II.

Esta média ponderada é calculada por um filtro FIR [10].

Cada amostra gerada pelo filtro *FIR* é ajustada para uma escala de temperatura obedecendo a Equação (3-18) cujo valor é mostrado num *display* de cristal líquido a uma taxa de 4 amostras por segundo.

Na Figura 4-12, pode-se observar o protótipo do circuito em que se destacam: o circuito do polarizador, analisado no item 4.1.1, o *display* e a placa do microcontrolador.

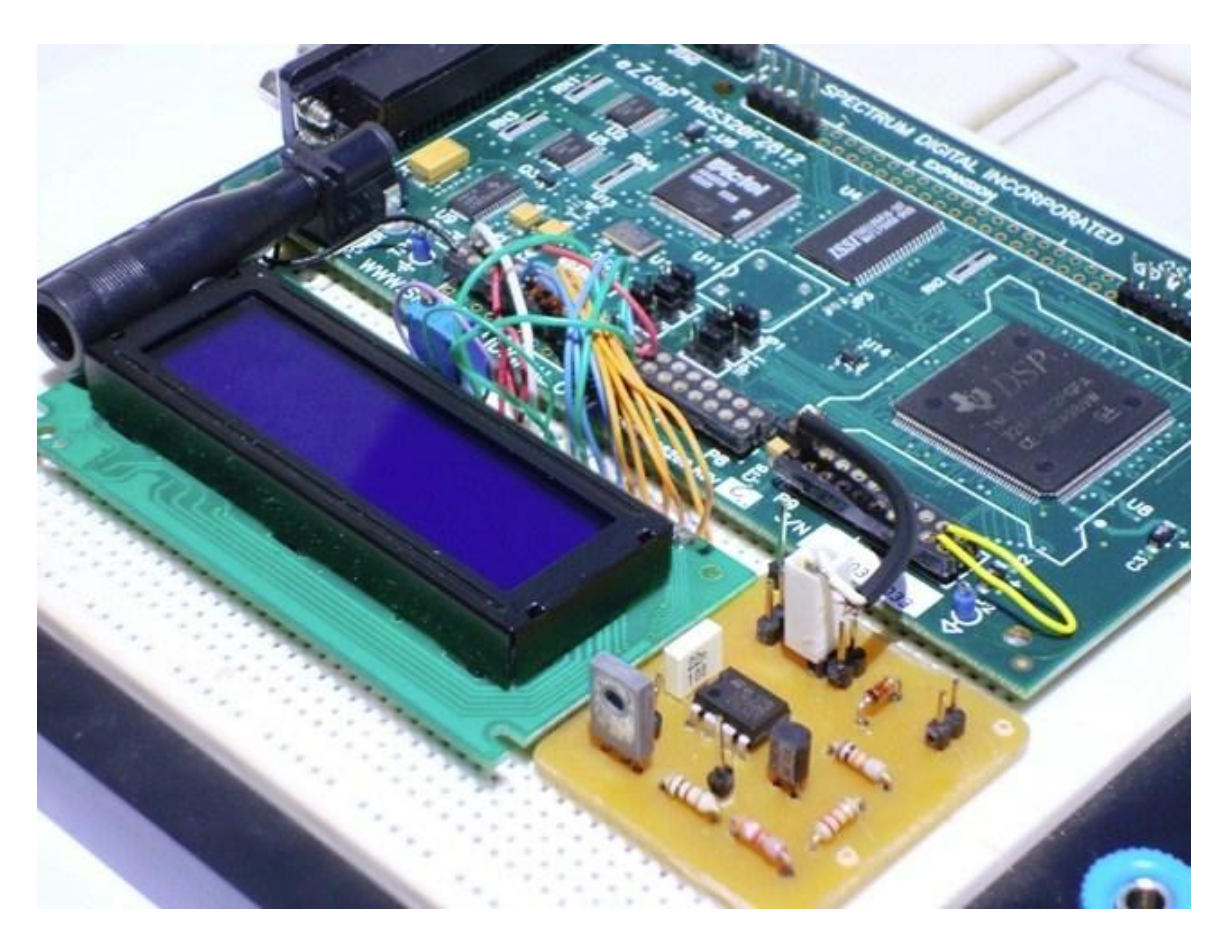


Figura 4-12: Foto do Protótipo com Microprocessador.

Foram executadas várias medições e alguns dos valores podem ser observados na Tabela 4-2.

Tabela 4-2: Condições de teste e valores obtidos com DSP.

Parâmetros	Valores	Ref. (°C)	Digital (°C)
t1 (s)	0,000100	80,55	80,38
t2 (s)	0,000900	74,80	74,15
Fs (Hz)	1000	70,64	69,86
t1/t2 (%)	11,11	65,11	64,38
$R_{s0}(\Omega)$	137,1	60,90	60,00
Tmin (°C)	26,00	56,33	55,38
Tmax (°C)	83,00	51,00	50,07
ΔT (°C)	57,00	46,45	45,56
Vref (V)	2,70	41,56	40,43
Iref (mA)	19,71	36,12	34,89

Na Figura 4-13, obtida a partir dos dados da Tabela 4-2, pode ser observada a linearidade obtida com o uso do microcontrolador que foi próxima da linearidade obtida com o circuito analógico, apesar das condições de testes serem diferentes propositalmente, ratificando mais uma vez a linearidade esperada pela equação ( 3-18 ).

Observa-se uma pequena melhora na linearidade do circuito digital em relação ao analógico o que pode ser atribuído à sua melhor imunidade a ruído ou ao aumento da freqüência de amostragem, o que não foi explorado neste trabalho.

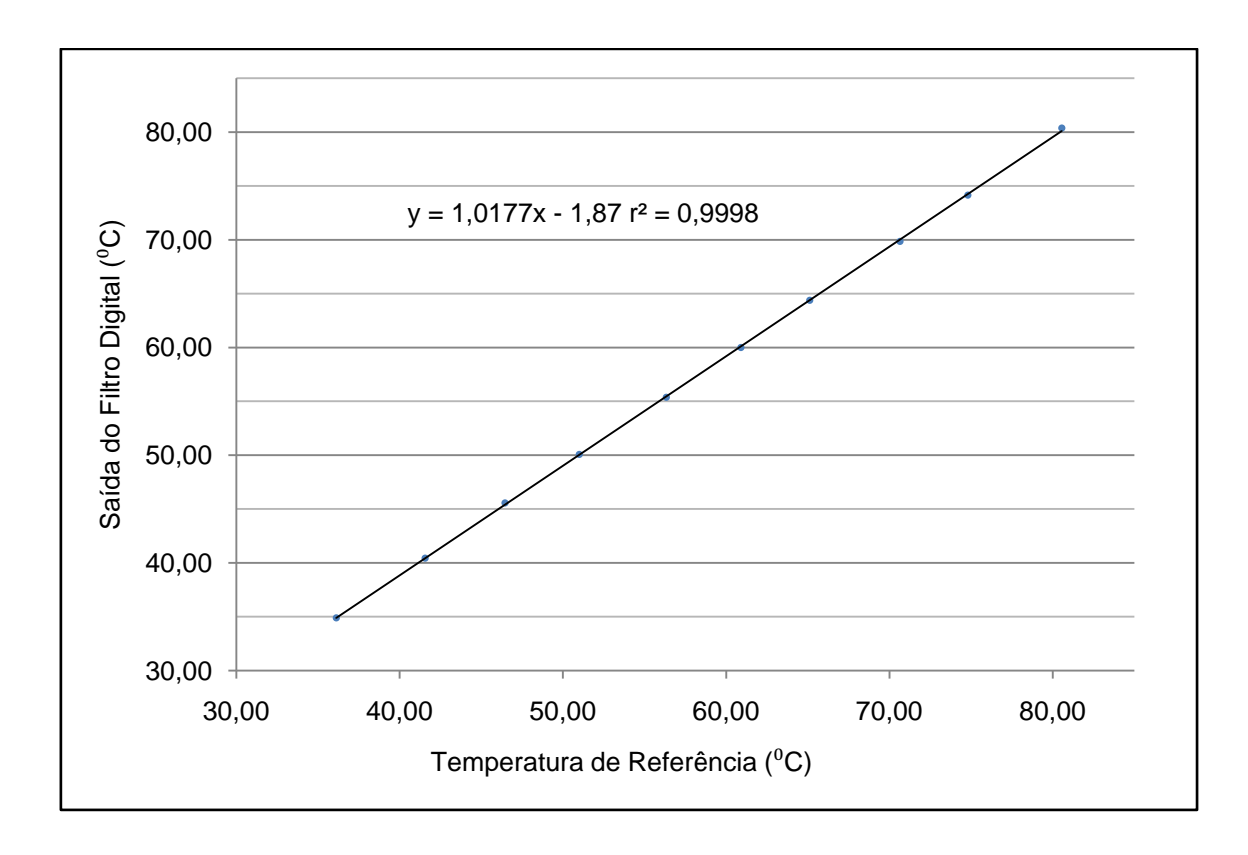


Figura 4-13: Linearidade Obtida com o Circuito Integrado num DSP.

A seguir são relacionadas as condições de teste:

Características do sensor NTC:

$$A = 0.01366 \Omega$$
  $B = 3334 K$ 

$$C_{th}$$
= 10,73 mJ/K  $G_{th}$ = 0,841 mW/K

Faixa da temperatura ambiente:

$$T_{min} = 26.0 \, ^{\circ}\text{C}$$
  $T_{max} = 83.0 \, ^{\circ}\text{C}$ 

Ponto de operação do sensor:

$$T_{s0} = 89.3 \,^{\circ}\text{C}$$
  $R_{s0} = 137.1 \,\Omega$ 

Freqüência de sobreamostragem:

$$\begin{array}{ll} \text{Fs} = 1000 \; \text{Hz} & \rho_t = t_1/t_2 = 11,1\% \\ V_{ref} = 2,70 \; \text{V} & I_{ref} = 19,71 \; \text{mA} \end{array}$$

Taxa de sobreamostragem:

$$p_{sr} = 2{,}381 \text{ rad/s}$$
 OSR =  $1000/(2{,}381/\pi) = 1319$ 

Pela equação ( 2-21 ), esta taxa de sobreamostragem é equivalente a uma SNR = 91,71 dB, que é uma SNR equivalente a um modulador convencional de 14 bits pela equação ( 2-19 ).

# Capítulo 5 : Conclusões e Trabalhos Futuros

### 5.1 - Conclusões

Foi apresentada uma arquitetura de circuito baseada na modulação sigmadelta aplicada às medidas da temperatura ambiente e radiação térmica. Esta arquitetura de circuito pode ser estendida para medidas de velocidade de fluido.

O circuito do transdutor térmico sigma-delta para aplicação em medição de temperatura ambiente foi implementado para validar esta arquitetura.

A relação linear entre a temperatura ambiente e o valor médio do sinal na saída do transdutor sigma-delta térmico foi demonstrada teoricamente, vide equação (3-18), e experimentalmente, vide Figura 4-9 e Figura 4-13.

A metodologia para o cálculo da tensão da referência e da corrente de referência do sensor foi desenvolvida para toda a escala de temperatura suportada pelo sensor.

A topologia do transdutor sigma-delta térmico aplicada à medida da radiação térmica foi desenvolvida, sendo mostrado que a relação entre a saída do transdutor e a radiação térmica medida também é linear em toda a faixa de medição, vide equação (3-23).

Os resultados deste trabalho foram divulgados em dois artigos [17] e [20]. O primeiro, já publicado, mostra os resultados obtidos com o circuito analógico, em que toda a teoria foi desenvolvida. No segundo, aguardando aprovação para publicação, é mostrada a versão usando DSP e os resultados obtidos.

Esta arquitetura, baseada na modulação sigma-delta, tem a vantagem de transformar a grandeza física diretamente na forma digital, sem a necessidade de passá-la por uma tensão ou corrente intermediária.

55

A parte analógica desta arquitetura é fácil de implementar em circuito integrado porque está reduzida ao circuito de polarização do sensor e a um comparador.

Uma desvantagem desta arquitetura é o alto consumo de energia do circuito para manter o sensor a uma temperatura constante acima da temperatura máxima a ser medida, principalmente para grandes faixas de temperatura, como pode ser observado na equação ( 3-7 ).

### **5.2 - Trabalhos Futuros**

A topologia aqui apresentada para medição de radiação térmica, deve ser implementada para ratificar a linearidade esperada.

Devem ser exploradas e implementadas arquiteturas sigma-delta de ordem superior e analisado seu impacto na resolução e na resposta em freqüência do transdutor.

Outro trabalho que pode ser desenvolvido é a implementação do transdutor sigma-delta para medição de radiação térmica, todo integrado num circuito misto, inclusive o sensor, considerando que as faixas de temperatura envolvidas devem permitir tal integração.

## Referências Bibliográficas

- [1] A. Oliveira, G. S. Deep, A. M. N. Lima, R. C. S. Freire, "A Feedback I<sup>2</sup>-controlled Constant Temperature Solar Radiation Meter", Proc. *IEEE-IMTC*, vol. 2, pp. 1062-1066 (1998).
- [2] H. Fujita, T. Ohhashi, M. Asakura, M. Yamada, K. Watanabe,"A thermistor Anemometer for Low-Flow-Rate Measurements", *IEEE Trans. Instrum. Measurement*, 44 (3), pp. 779-782 (1998).
- [3] L. S. Palma, A. Oliveira, A. S. Costa, A. Q. Andrade Jr., C. V. R. Almeida, M. E. P.V. Zurita, R. C. S. Freire, "Implementation of a Feedback I<sup>2</sup>-controlled Constant Temperature Environment Temperature Meter", *Sensors* 3 (10), pp 498-503 (2003).
- [4] P. C. Lobo, "An electrically Compensated Radiometer", *Solar Energy*, 36 (3) pp.207-216 (1985).
- [5] K. A. A. Makinwa, J. H. Huijsing, "Constant power Operation of a Two-dimensional Flow Sensor using Thermal Sigma-Delta Modulation Techniques", *Proc. IEEE-IMTC*, pp. 1577–1580 (2001).
- [6] P. M. Aziz, H. V. Sorensen, J. V. D. Spiegel, "An Overview of Sigma-Delta Converters", *IEEE Signal Processing Magazine*, pp. 61-81 (1996).
- [7] A. Oliveira, L. S. Palma, A. S. Costa, R. C. S. Freire, A. C. C. Lima, "A Constant Temperature Operation Thermoresistive Sigma-Delta Solar Radiometer", *Measurement*, (34) pp 267-273 (2006).
- [8] L.S. Palma, A. Oliveira, R. C. S. Freire, A. B. Fontes, "Sigma-Delta Modulator: with Themoresistive Sensor Frequency Response", Proc. IEEE-IMTC, pp. 776-780, (2006).
- [9] Texas Instruments Incorporated, TMS320C28xx User's Guide, (2001).
- [10] IFEACHOR, E. C., JERVIS, B. W., Digital Signal Processing: A Practical Approach. Suffolk: Addison-Wesley Publishers, Ltd., 2002, 2nd edition, Chapter 7, pp. 343-454.
- [11] Amauri Oliveira. Sensores Termo-resistivos em Configurações Realimentadas. 1997 111f. Tese (Doutorado em Engenharia Elétrica) Universidade Federal da Paraíba. Orientadores: Gurdip Singh Deep e Raimundo Carlos Silvério Freire
- [12] Lígia Souza Palma. Modulador Sigma-Delta com Sensor Termoresistivo. 2005. 230 f. Tese (Doutorado em Engenharia Elétrica) - Universidade Federal de Campina Grande. Orientadores: Dr. Raimundo Carlos S. Freire e Dr. Amauri Oliveira.

- [13] Alexandre Santana da Costa. Transdutor Sigma-Delta com Sensor Termo-Resistivo. 2005. 160 f. Dissertação (Mestrado em Engenharia Elétrica) Universidade Federal da Bahia. Orientadores: Dr. Amauri Oliveira e PhD. Antonio Cezar de Castro Lima.
- [14] Engineering Notes. Spectrum Sensors & Controls Inc., http://www.specsensors.com/ptc-engineering.asp, http://www.specsensors.com/ntc-engineering.asp
- [15] Contadini, Franco., Demystifing Sigma Delta ADCs., Artigo publicado na Sensors Magazine, Agosto de 2002, http://www.maximic.com/appnotes.cfm/appnote\_number/1870/ln/en
- [16] Park, Sangil, Principles of Sigma-Delta Modulation for Analog-to-Digital Converters, Abril de 1998.
- [17] Valter C. Rosa, Lígia Souza Palma, Amauri Oliveira, Tiago Rodrigues Torres. "An inherently linear transducer using thermistor, Practical approach." 3rd Intennational Conference on Sensing Technology, Nov.30 -Dec.3, 2008, Tainan, Taiwan.
- [18] John Bishop, Bruce Trump, R. Mark Stitt. "FilterPro MFB and Sallen-Key Low-Pass Filter Design Program", Application Report Texas Instruments, SBFA001A – November 2001
- [19] I.S. Steinhart & S.R. Hart "Deep Sea Research" vol. 15 p. 497 (1968).
- [20] Valter C. Rosa, Lígia Souza Palma, Amauri Oliveira, Luiz Fernando G. T. Amaral. "An inherenttly linear transducer using thremal sigma-delta modulator." XIX IMEKO World Congress, Fundamental and Applied Metrology, September 6–11, 2009, Lisbon, Portugal (Artigo submetido em fevereiro de 2009, aguardando aceitação para publicação)
- [21] Tina for Windows, "The Complete Electronics Lab." Student Version 7.0.80.15 SV-DS, by DesignSoft, Inc. 1993-2008.
- [22] Spiegel, M. R. "Theory and Problems of Probability and Statistics", 2nd ed. New York: McGraw-Hill, 1992.

# Apêndice I: Rotina Principal em C

```
// -----
// Universidade Federal da Bahia - Escola Politécnica
// Curso de Mestrado em Engenharia Elétrica
// Valter da Conceição Rosa - valter.rosa@gmail.com
// Agosto de 2008
// Programa desenvolvido para o microcontrolador TMS320F2812
// Descrição: Executa as funções do Comparador, Controle, Filtro e
// Escala do Transdutor Sigma-Delta Térmico.
// Principais variáveis:
// OSR: Número de bits do sinal PDM em cada amostra é gerada.
// tDac: Tempo de espera para a estabilização da saída do comparador.
// Pfila: Ponteiro de entrada e saída da fila circular.
// Vfila: Fila circular que armazena os últimos 16 pacotes de 256 bits.
// Pdml: Amostras do sinal PDM geradas pelo processo de decimação.
// MaxFila: Número máximo de posições da fila.
// Pdm3: Amostras do sinal PDM geradas pelo filtro FIR.
// Pdm: Mais antigos OSR bits da última amostra Pdm1 gerada.
// Pdm0: Mais recentes OSR bits, que fará parte da nova amostra.
// Pdmf: Cópia de Pdm.
// indc: Contador dos bits gerados.
// MaxBit: Número máximo de bits acumulados em cada amostra.
// Bit: Bit gerado a cada leitura do sensor.
// NTC: Tensão do sensor convertida internamente para uma palavra de 12 bits.
// nVref: Valor de Vref em volts com 12 bits
// Vref: Valor da tensão de referência do transdutor em volts.
// Tmin: Valor da Temperatura mínima em graus Celsius.
// dT: Valor da faixa de temperatura.
// BufLcd: Buffer de armazenamento dos dados a serem mostrados no display.
// -----
#include "DSP281x Device.h"
#include "fir.h"
#include "stdio.h"
// Definição de parâmetros do conversor analógico digital interno do DSP.
// -----
#define ADC_MODCLK 0x3 // HSPCLK=SYSCLKOUT/2*ADC_MODCLK2=150/(2*3)=25MHz
#define ZOFFSET 0x00 // Average Zero offset
// Definição de parâmetros da rotina do filtro FIR
#pragma DATA SECTION(fir, "firfilt");
FIR16 fir= FIR16 DEFAULTS;
#pragma DATA SECTION(dbuffer, "firldb");
long dbuffer[(FIR ORDER+2)/2];
long const coeff[(FIR_ORDER+2)/2]= FIR16_LPF;
// Definição das variáveis da rotina principal
unsigned int OSR, tDac, Pfila, Vfila[17], Pdm1, MaxFila;
unsigned int Pdm3, Pdm, Pdm0, Pdmf, indc=0, ind, MaxBit, Bit, NTC, nVref;
unsigned int ltp,pos,cmd,dado,DelayLcd;
float Tmin, dT;
float Vref;
```

```
char BufLcd[16];
// Inicialização das portas de entrada e saída do DSP.
// -----
void Gpio select(void)
  EALLOW;
  GpioMuxRegs.GPAMUX.all = 0x0;
  GpioMuxRegs.GPBMUX.all = 0x0;
  GpioMuxRegs.GPDMUX.all = 0x0;
   GpioMuxRegs.GPFMUX.all = 0x0;
  GpioMuxRegs.GPEMUX.all = 0x0;
  GpioMuxRegs.GPGMUX.all = 0x0;
  GpioMuxRegs.GPADIR.all = 0xFFFF;
  GpioMuxRegs.GPBDIR.all = 0x0;
  GpioMuxRegs.GPDDIR.all = 0x0;
  GpioMuxRegs.GPEDIR.all = 0x0;
  GpioMuxRegs.GPFDIR.all = 0xFFF7;
  GpioMuxRegs.GPGDIR.all = 0x0;
  GpioMuxRegs.GPAQUAL.all = 0x0;
  GpioMuxRegs.GPBQUAL.all = 0x0;
  GpioMuxRegs.GPDQUAL.all = 0x0;
  GpioMuxRegs.GPEQUAL.all = 0x0;
  EDIS;
// Inicialização dos registros internos do DSP.
// -----
void SpeedUpRevA(void)
  EALLOW;
  DevEmuRegs.MORAMDFT = 0x0300;
   DevEmuRegs.M1RAMDFT = 0x0300;
  DevEmuRegs.LORAMDFT = 0x0300;
  DevEmuRegs.L1RAMDFT = 0x0300;
  DevEmuRegs.HORAMDFT = 0x0300;
  EDIS;
void InitSystem(void)
 EALLOW:
  SysCtrlRegs.WDCR= 0x00E8;
  SysCtrlRegs.PLLCR.bit.DIV = 1;
  SysCtrlRegs.HISPCP.all = 0x1;
  SysCtrlRegs.LOSPCP.all = 0x2;
  SysCtrlRegs.PCLKCR.bit.EVAENCLK=0;
  SysCtrlRegs.PCLKCR.bit.EVBENCLK=0;
  SysCtrlRegs.PCLKCR.bit.SCIAENCLK=0;
  SysCtrlRegs.PCLKCR.bit.SCIBENCLK=0;
  SysCtrlRegs.PCLKCR.bit.MCBSPENCLK=0;
  SysCtrlRegs.PCLKCR.bit.SPIENCLK=0;
  SysCtrlRegs.PCLKCR.bit.ECANENCLK=0;
  SysCtrlRegs.PCLKCR.bit.ADCENCLK=1;
  EDIS;
void StartTimer(void)
   PieCtrlRegs.PIEIER1.bit.INTx7 = 1;
  IER = 1;
  EINT;
  ERTM;
  CpuTimerORegs.TCR.bit.TSS = 0;
  CpuTimer0.InterruptCount = 0;
```

```
// Inicialização do conversor A/D interno do DSP.
void InicAdc(void)
  AdcRegs.ADCTRL1.bit.ACQ PS = ADC SHCLK;
  AdcRegs.ADCTRL3.bit.ADCCLKPS = ADC CKPS;
  AdcRegs.ADCTRL1.bit.SEQ CASC = 1;
  AdcRegs.ADCCHSELSEQ1.bit.CONV00 = 0x0;
  AdcRegs.ADCTRL1.bit.CONT RUN = 1;
  AdcRegs.ADCTRL2.all = 0 \times \overline{2000};
// Rotina generic de atraso
// -----
void delay_loop(end) // end=10us
{
  unsigned int i;
  for (i = 0; i < end; i++) \{asm("RPT #144 | | NOP");\}
// Rotina primária de aquisição de dados que gera Pdm0 a cada OSR bits.
// -----
void Comb(void)
  GpioDataRegs.GPFDAT.bit.GPIOF6=0; // Gera sinal para o DAC
  delay_loop(tDac); // Aguarda a estabilização do sinal do comparador
  while (AdcRegs.ADCST.bit.INT SEQ1== 0) {}
  asm(" RPT #11 || NOP");
  AdcRegs.ADCST.bit.INT SEQ1 CLR = 1;
  NTC = ((AdcRegs.ADCRESULT0>>4) ); // Lê a tensão do sensor pelo ADC
  if( NTC>nVref) Bit=0; // Executa a função do Comparador e Filp-Flop
  if( NTC<nVref) Bit=1;</pre>
  GpioDataRegs.GPFDAT.bit.GPIOF6=Bit; // Gera realimanteção para o DAC
                                    // Acumula OSR bits
  Pdm0=Pdm0+Bit;
  indc++;
}
// Rotina que lê e grava na fila circular.
// -----
int Fila(void)
                             // lê o valor mais antigo da fila
  Pdm=Vfila[Pfila];
  Vfila[Pfila]=Pdm0;
                              // salva o valor atual na fila
                              // atualiza o ponteiro da fila
  if (Pfila==0) Pfila=MaxFila; // torna a fila circular
  return Pdm;
// Rotina que faz interface com a rotina do filtro FIR do Anexo I
// -----
int Filtro(void)
  fir.input=Pdml; // Entrada de nova amostra vinda do decimador
fir.calc(&fir); // Cálculo da nova amostra filtrada
Pdm3=fir.output; // Saida da nova amostra
  return Pdm3;
// Rotina executada na interrupção do relógio na frequencia de amostragem.
interrupt void cpu timer0 isr(void)
  Comb();
                 // Acumula até OSR bits.
  if (indc==OSR)
  {
     indc=0;
     Pdmf=Fila(); // Retira a amostra mais antiga da fila e grava a mais nova
     Pdm1=Pdm1-Pdmf+Pdm0; // Gera nova amostra a partir da anterior.
```

```
Pdm3=Filtro(); // Gera nova amostra filtrada pelo filtro FIR
  PieCtrlRegs.PIEACK.all = PIEACK GROUP1;
// Inicialização da rotina do filtro FIR
// -----
void InicFilt(void)
  fir.order=FIR ORDER;
  fir.dbuffer_ptr=dbuffer;
  fir.coeff ptr=(long *)coeff;
  fir.init(&fir);
// Rotina de enviar palavra de controle para o display
void Wcmd()
  GpioDataRegs.GPADAT.all = cmd;
                                //Byte
  GpioDataRegs.GPFDAT.bit.GPIOF2 = 0; //RS // comando
  GpioDataRegs.GPFDAT.bit.GPIOF1 = 0; //RW // escrita
  GpioDataRegs.GPFDAT.bit.GPIOF0 = 1; //EN
  delay_loop(DelayLcd);
  GpioDataRegs.GPFDAT.bit.GPIOF0 = 0; //EN
  delay loop(DelayLcd);
// Rotina de enviar palavra de dados para o display
// -----
void Wdado()
  GpioDataRegs.GPADAT.all = dado;
  GpioDataRegs.GPFDAT.bit.GPIOF1 = 0;
                                // RW escrita
  GpioDataRegs.GPFDAT.bit.GPIOF2 = 1;  // RS dado
  GpioDataRegs.GPFDAT.bit.GPIOF0 = 1;
  delay loop(DelayLcd);
  GpioDataRegs.GPFDAT.bit.GPIOF0 = 0;
                                //EN
  delay_loop(DelayLcd);
// Rotina de enviar uma linha de caracteres para o display
// -----
void Display(int linha)
  cmd=linha; Wcmd();
  for (pos=0; pos<ltp; pos++)</pre>
  {
    dado=BufLcd[pos];
     Wdado();
}
// Iniciaização do display LCD
// -----
void InicLcd()
  strcpy(BufLcd, "Temperatura
  ltp=16;
  Display(0x80);
                  // linha 1
  delay loop(DelayLcd);
```

```
// Inicialização das variáveis do sistema, do filtro FIR e do display LCD.
// -----
void InicTsd(void)
  Tmin=26.0; dT=57.0; Vref=2.70;
  tDac=10;
                      // 100 us
  OSR=256;
  nVref=4095*Vref/3;
  MaxFila=16;
  {\tt MaxBit=OSR*MaxFila;} // 12 bits
                      // 2ms
  DelayLcd=200;
  for(ind=0;ind<=MaxFila;ind++) Vfila[ind]=0;</pre>
  Pfila=MaxFila;
  Bit=0; Pdm0=0; Pdm1=0;
  InicFilt();
  InicLcd();
}
// Rotina que executa a função de Escala
void Escala()
{
  ltp=sprintf (BufLcd, "%+4.1f C ", Tmin+(float)Pdm3*dT/MaxBit);
  BufLcd[ltp-4]=0xDF;
}
// Inicialização geral de todo o sistema.
void InicAll()
{
   InitSysCtrl();
   EALLOW;
   SysCtrlRegs.HISPCP.all = ADC MODCLK;
   EDIS;
   DINT;
   InitPieCtrl();
   IER = 0x0000;
   IFR = 0x0000;
   InitPieVectTable();
   InitAdc();
   InitSystem();
   SpeedUpRevA();
   EALLOW;
   PieVectTable.TINT0 = &cpu_timer0_isr;
   EDIS;
   InitCpuTimers();
   ConfigCpuTimer(&CpuTimer0,150,1000); //Frequencia em MHz e Amostragem us
   Gpio select();
   InicTsd();
   InicAdc();
   StartTimer();
// Programa principal, única parte do sistema fora da interrupção do relógio.
void main(void)
{
  InicAll();  // Inicializa todo o sistema
                   // Loop infinito
  while(1)
  {
                  // Formata a linha da saída para display.
     Escala();
     Display(0xC0); // Escreve o valor da temperatura no display
```

## Anexo I: Rotina do Filtro FIR em Assembler

```
; File Name : fir16.asm
; Originator : Advanced E
; Originator : Advanced Embeeded Control (AEC) Texas Instruments Inc. ; Description : This file contain source code for 16-bit FIR Filter
              : 12/05/2002 (DD/MM/YYYY)
; Routine Name : Generic Function
; Routine Type : C Callable
; Description : void FIR16_calc(FIR16_handle)
; This routine implements the non-recursive difference equation of an
; all-zero filter(FIR), of order N. All the coefficients of all-zero
; filter are assumed to be less than 1 in magnitude.
; Function Input: This function accepts the handle of the below structure
  typedef struct {
;
    int *coeff_ptr;
    int cbindex;
                              /* Order of the filter
    int order;
                               /* Input data
    int input;
   int output; /* Output data */
void (*init) (void *) /* Pointer to init fun */
void (*calc) (void *); /* Pointer to the calculation function */
   }FIR16 handle;
; Module definition for external referance
.def _FIR16_init
.def _FIR16_calc
MOV *+XAR4[6],#0 ; XAR4->ouput, input=0
MOV *+XAR4[7],#0 ; output=0
MOVL XAR6,*+XAR4[2] ; XAR6=dbuffer_ptr
MOV AL,*+XAR4[5] ; AL=order
MOV AH,AL ; AL=order
TBIT AL,#0
     AL,#1
                      ; AL=order+1
; AL=order, if odd
ADDB
      AL, AH, TC
MOV
MOV
    AH, AL
    *+XAR4[4],AH ; cbindex=order, even=order-1, odd
VOM
RPT
      AL
|| MOV *XAR6++,#0
LRETR
ConstTable:
FIR16 calc:
PUSH XAR1
                        ; Context Save
                        ; AR4=FIR16 handle->coeff ptr
SETC SXM, OVM
                        ; Create guard band of >> 6
SPM
      -6
MOVL XAR7,*XAR4
MOVZ AR1,*+XAR4[4]
                         ; XAR4->coeff ptr, XAR7=coeff ptr
                        ; XAR4->coeff_ptr, AR1=cbindex
```

```
XAR6,*+XAR4[2]
MOVL
                       ; XAR4->coeff_ptr, XAR6=dbuffer_ptr
MOVL ACC, *XAR6
                       ; ACC = -:X
MOV
     AH,@AL
                       ; ACC = X:X
     AL,*+XAR4[6]
                      ; ACC = X:Input
MOV
                      ; Store in data array and inc circ address
MOVL
     *XAR6%++, ACC
     *+XAR4[2],XAR6 ; XAR4->coeff_ptr, update the dbuffer pointer ACC,*+XAR4[5]<<15 ; AR0=cbindex
MOVL *+XAR4[2], XAR6
MOV
MOVZ ARO, AH
                       ; AR0=order/2
ZAPA
                       ; Zero the ACC, P registers and OVC counter
RPT
     AR0
|| DMAC ACC:P, *XAR6%++, *XAR7++
ADDL ACC, P
                       ; Add the two sums with shift
MOVW DP, #PosSatVal
MINL ACC, @PosSatVal
                      ; Saturate result
MOVW DP, #NegSatVal
     ACC, @NegSatVal
MAXL
     *+XAR4[7], ACC<<7 ; Store saturated result (Q15)
MOVH
SPM
POP
     XAR1
CLRC OVM
LRETR
; ------
```

## Anexo II: Pesos do Filtro FIR em Matlab

```
disp('ezFIR FILTER DESIGN SCRIPT');
order=input('Input FIR Filter order(EVEN for BS and HP Filter) : ');
                  : 1');
disp('Low Pass
disp('High Pass
                        : 2');
disp('Band Pass : 3');
disp('Band Stop : 4');
fres=input('Select Any one of the above Response
                                                               : ');
disp('Hamming : 1');
disp('Hanning : 2');
disp('Bartlett
                       : 3');
                        : 4');
disp('Blackman
wtype=input('Select Any one of the above window
                                                                 : ');
                                                              : ');
fs=input('Enter the Sampling frequency
                                                              : ');
fc=input('Enter the corner frequency(Fc)
fname=input('Enter the name of the file for coeff storage
                                                                 : ','s');
% Design the Filter
if fres==1
   res='';
   elseif fres==2
     res='high';
   elseif fres==3
     res='';
   elseif fres==4
     res='stop';
if wtype==1
   win=hamming(order+1);
   elseif wtype==2
     win=hanning(order+1);
   elseif wtype==3
     win=bartlett(order+1);
   elseif wtype==4
      win=blackman(order+1);
end
fc=fc/(fs/2);
                               % Normalize the frequency values
B=fir1(order,fc,res,win);
                               % Coefficients in O15 format
Bi=B*32768;
Bi=floor(Bi);
bsize=length(Bi);
for i=1:bsize
                               % Saturate the coefficients for Q15 format
   if Bi(i) == 32768
     Bi(i) = 32767;
   end
end
if (mod(bsize, 2))
  Bi(bsize+1)=0;
  bsize=bsize+1;
end
```

```
% Open the file and store the scaled FIR filter coefficients.
fid = fopen(fname,'w');
fprintf(fid,'#define FIR16 COEFF {\\');
fprintf(fid, '\n');
fprintf(fid,'\t\t\t');
for i=1:bsize/2
   two coeff=Bi(bsize+1-i)*2^16 + Bi((bsize/2)+1-i);
   if ( Bi((bsize/2)+1-i) < 0)
    two_coeff=two_coeff+65536;
   fprintf(fid,'%d,',two_coeff);
   if(mod(i,10) == 0)
      fprintf(fid,'\\');
      fprintf(fid,'\n');
      fprintf(fid,'\t\t\t');
   end
end
fseek(fid,-1,0);
fprintf(fid,'}\n');
fclose(fid);
% Plot the frequency response of the filter
[H,f] = freqz(B,1,512,fs);
figure(1);
subplot(2,1,1);
plot(f,abs(H));
grid;
xlabel('Hertz');
ylabel('Magnitude Response');
subplot(2,1,2);
plot(f,unwrap(angle(H))*180/pi);
grid;
xlabel('Hertz');
ylabel('Phase (degrees)');
figure(2);
freqz(B,1,512,fs);
```